

Optoelectronică

Curs 4

2017/2018

Disciplina 2017/2018

- ▶ 2C/1L Optoelectronică **OPTO**
- ▶ **Minim 7** prezente curs + laborator
- ▶ Curs – **sl. Radu Damian**
 - an IV μ E
 - Vineri 8–11, P5
 - E – 70% din nota
 - **20% test la curs**, saptamana 4–5?
 - probleme + (? 1 subiect teorie) + (2p prez. curs)
 - toate materialele permise
- ▶ Laborator – **sl. Daniel Matasaru**
 - an IV μ E, an IV Tc
 - Joi 14-16 par/impar
 - L – 15% din nota
 - C – 15% din nota

Orar 2017/2018

▶ Curs

- Vineri 8–11, P5
- **2C ⇒ 3C**
 - $14 * 2/3 \approx 9.33$
 - $9 \div 10$ C

Examen partial 2017/2018

- ▶ Vineri 16.03.2018, 10, P5
 - toate materialele permise
- ▶ 20% nota
 - Singura proba la care minim 5 nu e necesar
 - Absenta = 0p
- ▶ Primele 3 capitole
 - Introducere
 - Lumina ca undă electromagnetică
 - Fotometrie și radiometrie

Recapitulare

Reprezentare logaritmică!!!

$$\text{dB} = 10 \cdot \log_{10} (P_2 / P_1)$$

$$\text{dBm} = 10 \cdot \log_{10} (P / 1 \text{ mW})$$

$$0 \text{ dB} = 1$$

$$+ 0.1 \text{ dB} = 1.023 (+2.3\%)$$

$$+ 3 \text{ dB} = 2$$

$$+ 5 \text{ dB} = 3$$

$$+ 10 \text{ dB} = 10$$

$$-3 \text{ dB} = 0.5$$

$$-10 \text{ dB} = 0.1$$

$$-20 \text{ dB} = 0.01$$

$$-30 \text{ dB} = 0.001$$

$$0 \text{ dBm} = 1 \text{ mW}$$

$$3 \text{ dBm} = 2 \text{ mW}$$

$$5 \text{ dBm} = 3 \text{ mW}$$

$$10 \text{ dBm} = 10 \text{ mW}$$

$$20 \text{ dBm} = 100 \text{ mW}$$

$$-3 \text{ dBm} = 0.5 \text{ mW}$$

$$-10 \text{ dBm} = 100 \mu\text{W}$$

$$-30 \text{ dBm} = 1 \mu\text{W}$$

$$-60 \text{ dBm} = 1 \text{ nW}$$

$$[\text{dBm}] + [\text{dB}] = [\text{dBm}]$$

$$[\text{dBm/Hz}] + [\text{dB}] = [\text{dBm/Hz}]$$

$$[\text{x}] + [\text{dB}] = [\text{x}]$$

Lumina ca undă electromagnetică

Capitolul 2

Parametri, dependenta de mediu

$$\eta_0 = \sqrt{\frac{\mu_0}{\epsilon_0}} = 377\Omega$$

$$c_0 = \frac{1}{\sqrt{\epsilon_0 \cdot \mu_0}} = 2,99790 \cdot 10^8 \text{ m/s}$$

$n = 1$

$$T = \frac{2\pi}{\omega} = \frac{1}{f}$$

$$\lambda_0 = \frac{2\pi}{\beta} = \frac{c_0}{f}$$

$$\eta = \frac{\eta_0}{n}$$

$$c = \frac{c_0}{n}$$

$n = \sqrt{\epsilon_r}$

$$T = \frac{2\pi}{\omega} = \frac{1}{f}$$

$$\lambda = \frac{c_0}{n \cdot f} = \frac{\lambda_0}{n}$$

$$\lambda = \lambda(n)$$

$$f = \text{indep.}$$

ITU G.692

"the allowed channel frequencies are based on a 50 GHz grid with the reference frequency at 193.10 THz"

SI

"a source that emits monochromatic radiation of frequency $540 \cdot 10^{12}$ Hz"

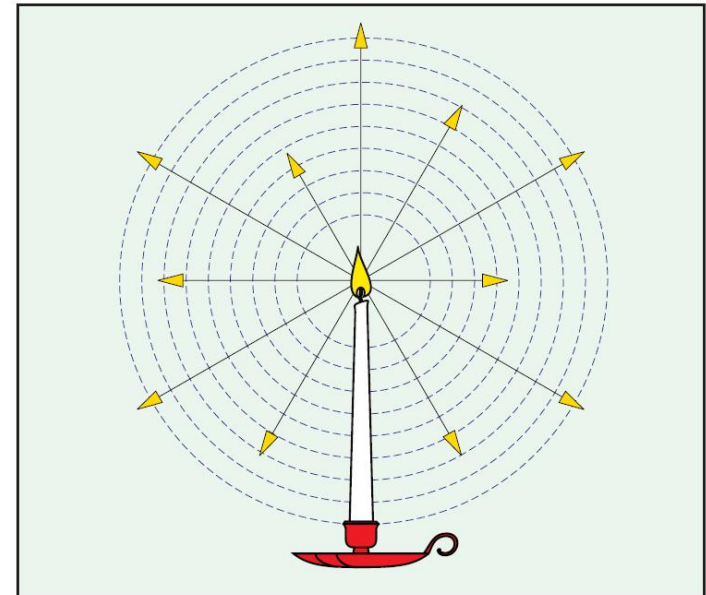
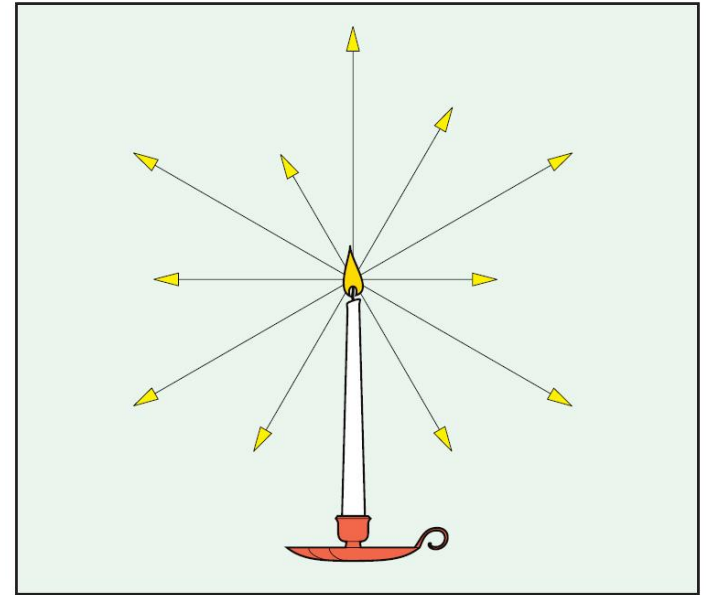
Optică geometrică

Capitolul 2

Raze de lumina

- ▶ Lumina este constituita din raze care se propaga in linie dreapta in medii omogene
- ▶ Sursa omnidirecțională: emite similar in toate direcțiile
- ▶ Densitatea de energie luminoasa descrește invers proporțional cu pătratul distantei fata de sursa (energia se împarte uniform pe suprafața întregii sfere)

$$P = \frac{P_0}{r^2}$$



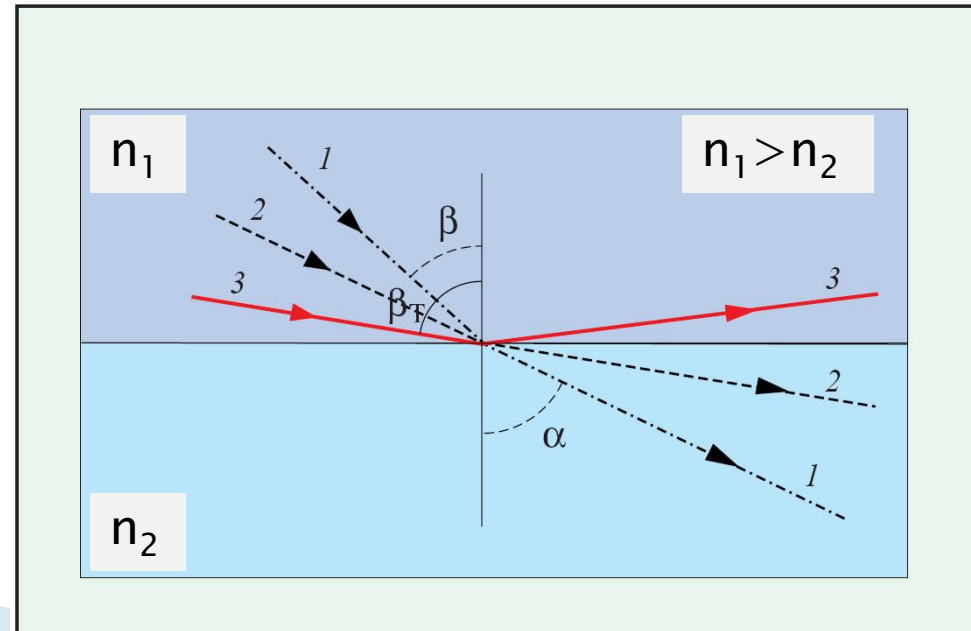
Reflexia totala

- ▶ Apare **numai când** lumina se propaga dintr-un mediu mai dens optic într-un mediu mai puțin dens
- ▶ La intersecția luminii cu suprafața de separație a doua medii se întâlnesc în general raze reflectate **și** raze refractate
- ▶ Pentru un unghi de incidență numit **unghi critic**, raza refractată se obține în lungul suprafeței de separație
- ▶ Pentru orice unghi mai mare decât unghiul critic există numai raza reflectată

$$n_1 > n_2; \quad \phi_R = 90^\circ$$

$$n_1 \cdot \sin \phi_C = n_2$$

$$\phi_C = \arcsin\left(\frac{n_2}{n_1}\right)$$



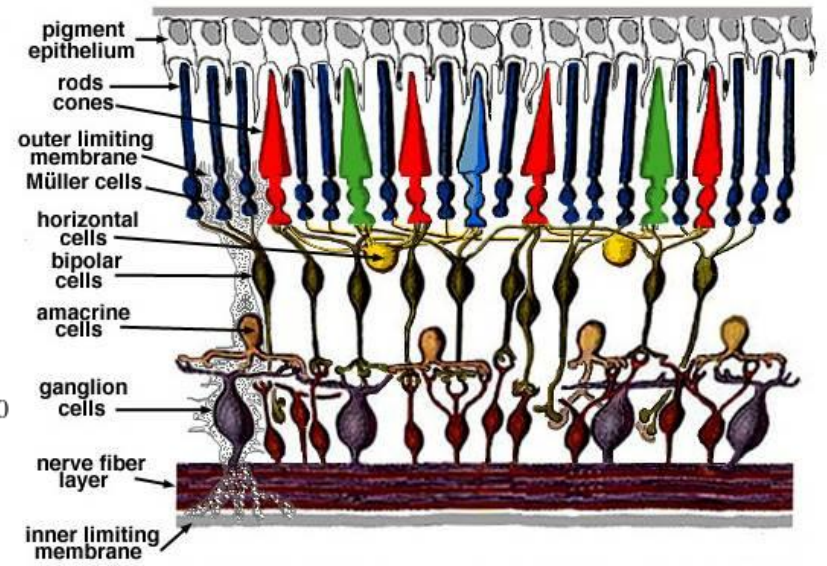
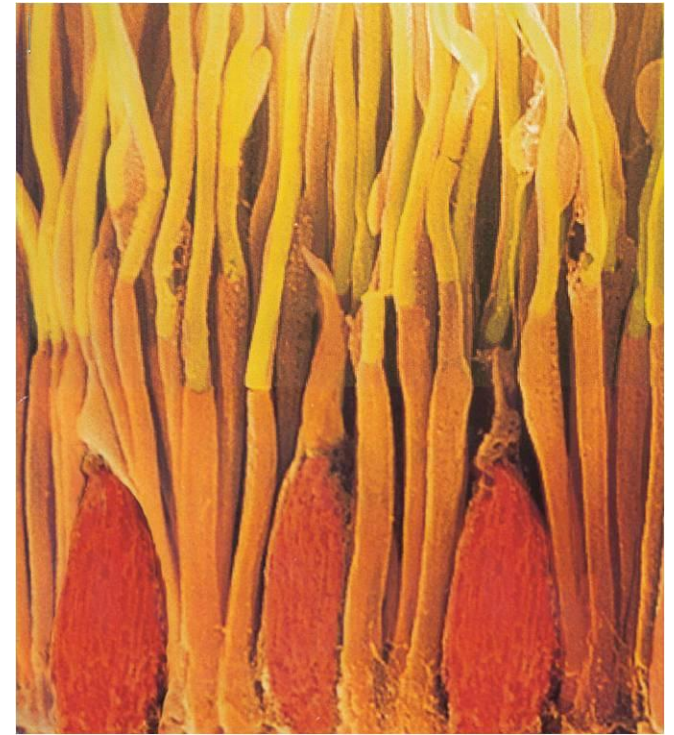
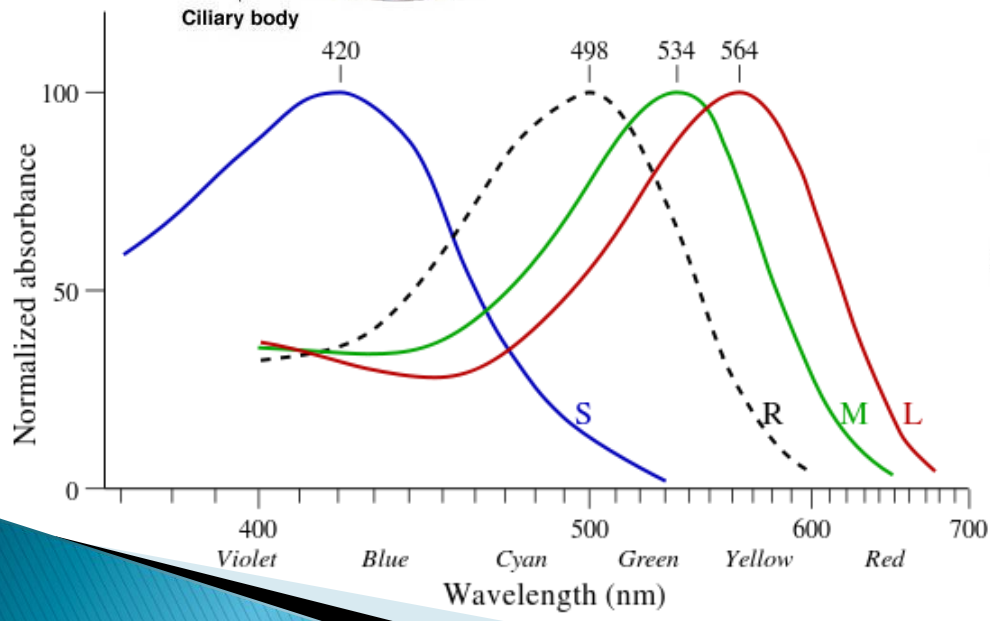
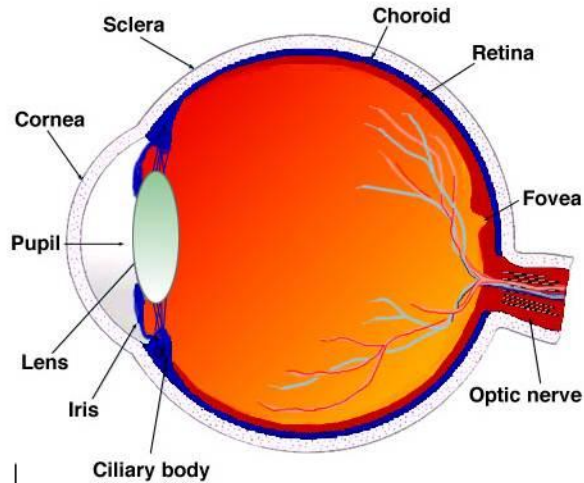
Fotometrie și radiometrie

Capitolul 3

O alta dualitate

- ▶ In optoelectronica, lumina poate fi privita din doua puncte de vedere
 - energetic (efect asupra dispozitivului)
 - uman (efect asupra ochiului uman)
- ▶ Dualitatea mărimilor implicate
 - energetice
 - luminoase
- ▶ Candela (cd) este una din cele 7 mărimi fundamentale ale SI
 - Cd = intensitatea luminoasa a unei surse ce emite o radiație monocromatica cu frecventa $540 \cdot 10^{12}$ Hz ($\lambda = 555\text{nm}$ in vid) si are o intensitate radianta de $1/683$ W/sr

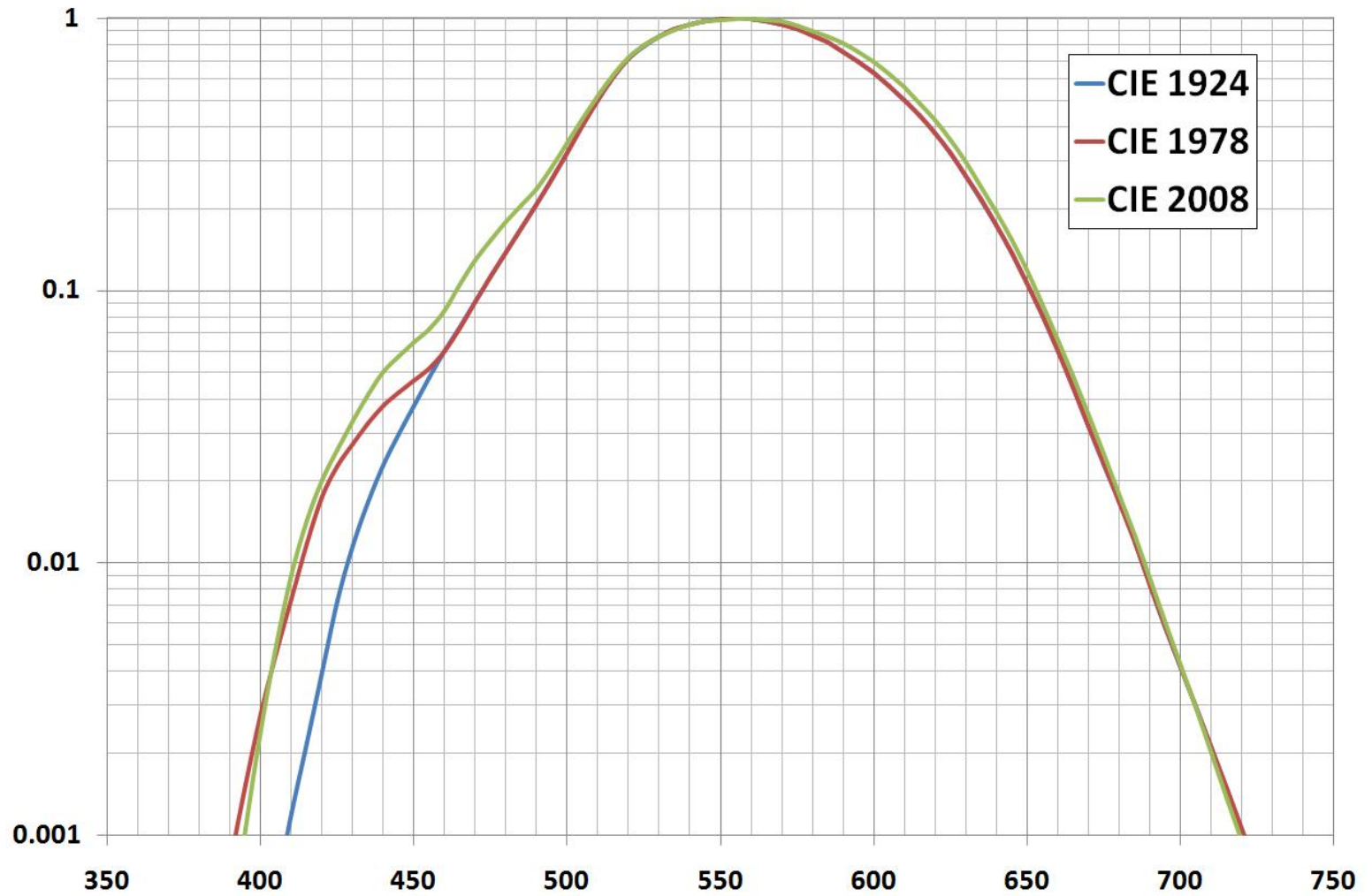
Ochiul uman



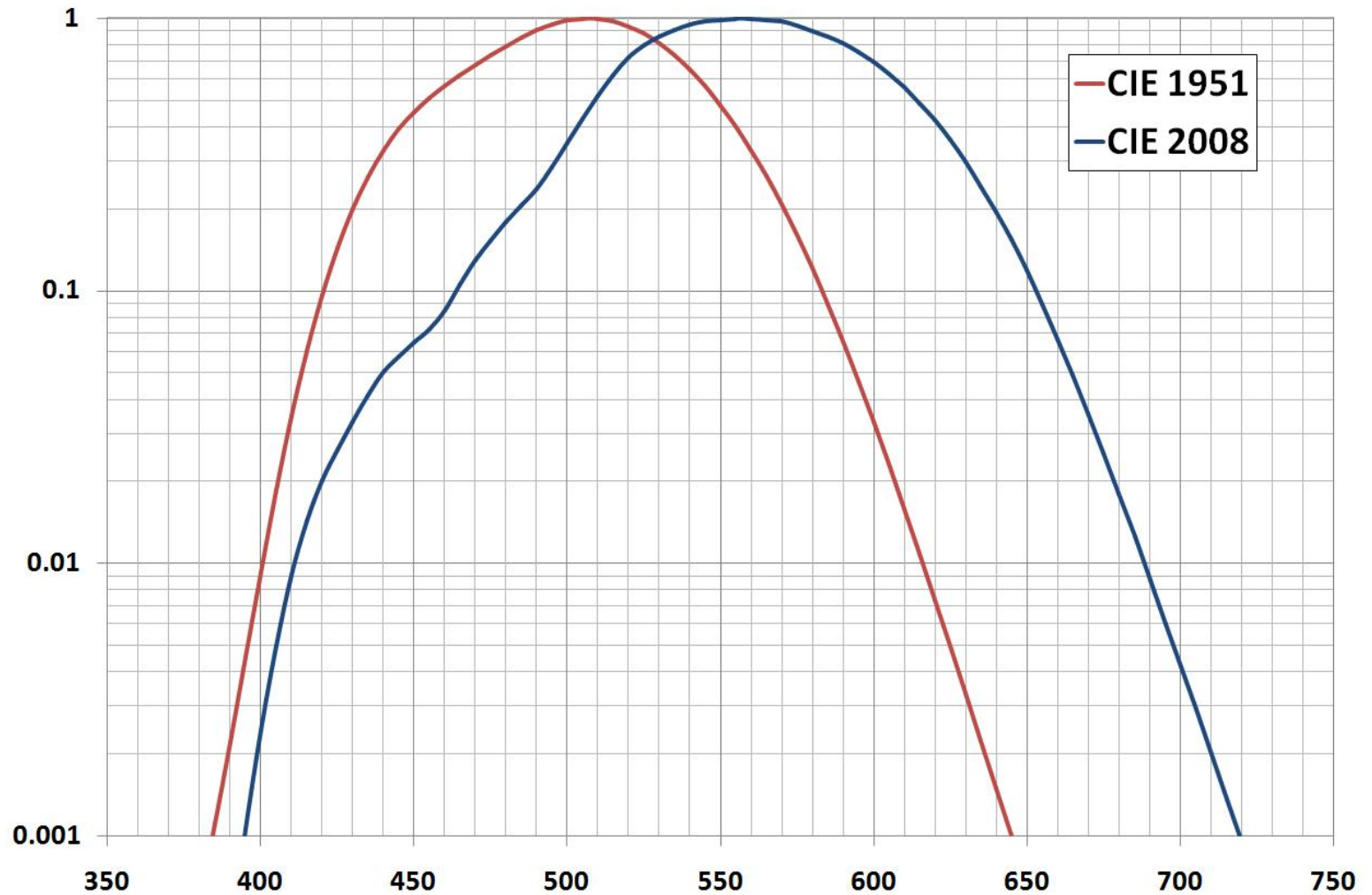
Standarde

- ▶ Se încearca definirea omului “standard”
- ▶ CIE – Commission Internationale de l'Éclairage
 - 1931 – luminozitatea relativa standard $V(\lambda)$ – **fotopic**
 - 1951 – luminozitatea relativa standard $V(\lambda)$ – **scotopic**
 - 1978 – Vos
 - 2005 – Sharpe, Stockman, Jagla, Jägle
 - 2008 – CIE $V(\lambda)$ – fotopic (~Sharpe)
- ▶ Sensibilitatea maxima a ochiului uman
 - vedere diurna (**fotopic**), $\lambda=555$ nm, $\eta_v = 683$ lm/W
 - vedere nocturna (**scotopic**), $\lambda=507$ nm, $\eta_v = 1700$ lm/W

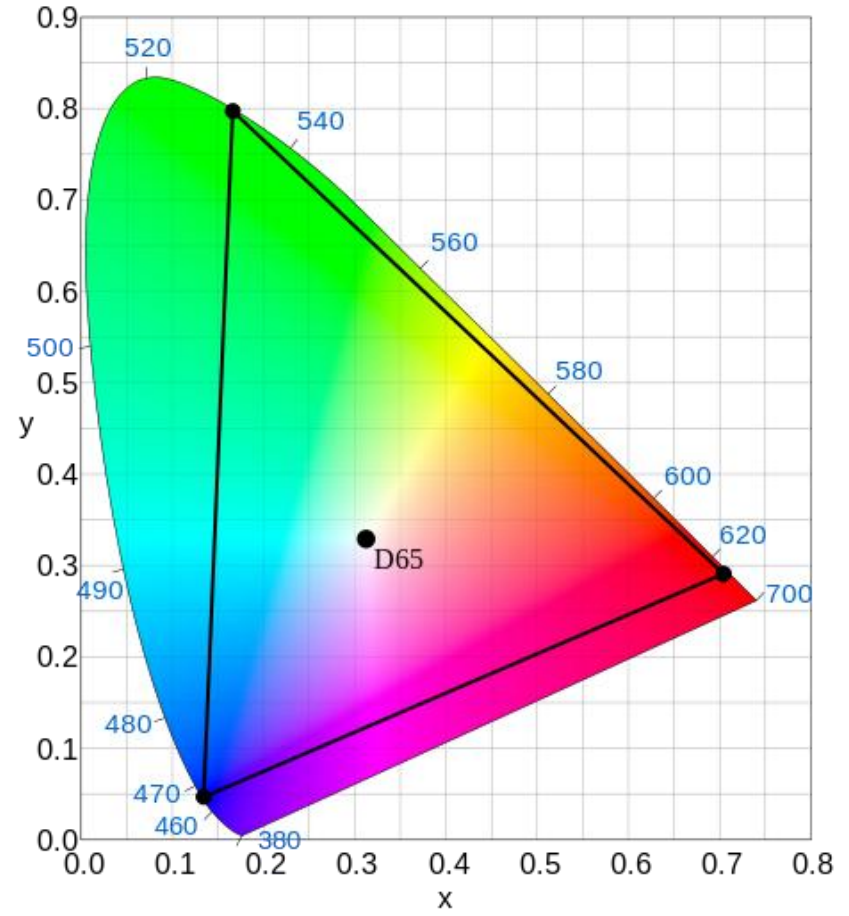
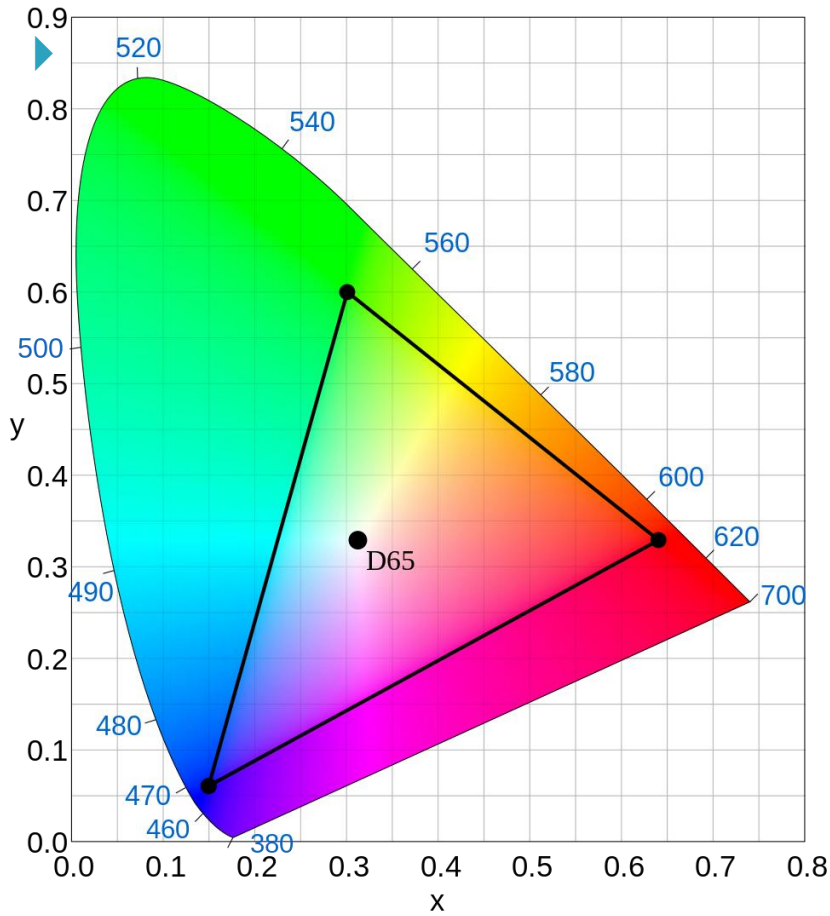
CIE $V(\lambda)$ fotopic



CIE $V(\lambda)$ fotopic / scotopic



ITU-R BT.709/.2020



Marimi luminoase

► Intensitatea

- raportul dintre fluxul care părăsește sursa și se propagă într-un element de unghi solid ce conține direcția de propagare și elementul de unghi solid.
- o masura a puterii emise de o sursa într-un element de unghi solid

Intensitatea			
Fotometrie		Radiometrie	
$I_v = \frac{d\Phi_v}{d\Omega}$	SI: cd	$I_e = \frac{d\Phi_e}{d\Omega}$	SI: W/sr

Marimi luminoase

- ▶ Standardele pentru surse luminoase (de ex. semne de circulatie), iluminarea spatiilor de lucru/odihna
 - sunt concepute cu marimi luminoase
 - lm, cd, lx, cd/m² etc.
- ▶ de multe ori se adapteaza relatiile pentru surse mai simple:

$$I_v = \frac{d\Phi_v}{d\Omega} \rightarrow I_v = \frac{\Phi_v}{\Omega} \Big|_{I_v \approx ct. \text{ in } \Omega} \quad E_v = \frac{d\Phi_v}{dS} \rightarrow E_v = \frac{\Phi_v}{S} \Big|_{\Phi_v \approx ct. \text{ pe } S}$$

$$\Phi_v = 683 \frac{lm}{W} \int_{390nm}^{830nm} \frac{d\Phi_e}{d\lambda} \cdot V(\lambda) d\lambda \rightarrow \Phi_v = 683 \frac{lm}{W} \cdot \sum_i \Phi_e(\lambda_i) \cdot V(\lambda_i)$$

Directivitatea radiatiei exterioare

▶ SLED

- radiatia este emisa cu simetrie circulara, in interiorul unui con cu unghi la varf tipic de 60°
- Viewing Half Angle $\sim 10 \div 15^\circ$

▶ ELED

- radiatia emisa nesimetric in forma de con eliptic
 - perpendicular pe jonctiune $\sim 60^\circ$
 - paralel cu jonctiunea $\sim 30^\circ$

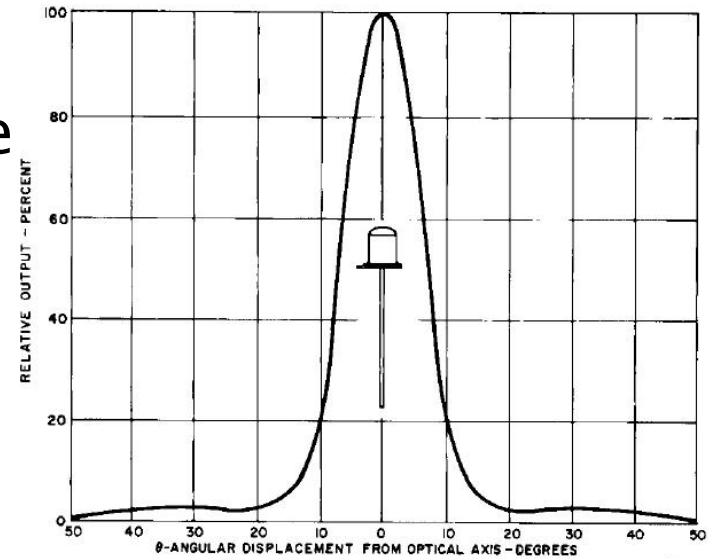
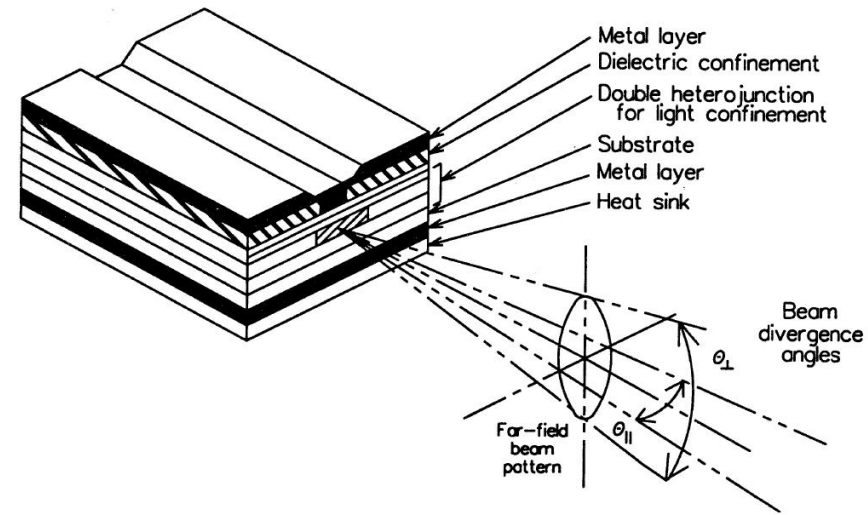


Fig. 5. Typical Radiation Pattern

ST1054



Probleme

- ▶ Panoul unui dispozitiv conține două LED-uri de semnalizare, unul de culoare verde și unul roșu standard. Doriți ca ambele să ofere aceeași luminozitate relativă și cât mai mare posibilă. Dacă ambele LED-uri acceptă un curent maxim de 50 mA, calculați curentul prin cele două LED-uri.
- ▶ Rezolvari: <http://rf-opto.etti.tuiasi.ro>

Probleme

- ▶ Trebuie să proiectați un semafor cu LED-uri. LED-urile care intră în componența sa sunt caracterizate de eficiență cuantică egală (aceeași tehnologie), iar parametrii de catalog pentru LED-ul roșu sunt ...
- ▶ Proiectați semaforul, pentru a obține o iluminare la 5m, pe direcție normală, de 50 lx pe timp de zi și 2 lx pe timp de noapte.
- ▶ Cerințe: luminozitate egală pentru cele 3 culori, alegerea numărului de LED-uri (considerente electronice/practice), necesitățile de curent ale fiecărui LED, parametrii pentru sursa de alimentare, parametrii unui sistem de control a intensității luminoase pentru reglare zi/noapte.
- ▶ Rezolvari: <http://rf-opto.etti.tuiasi.ro>

Probleme

- ▶ O instalație de iluminare de urgență este realizată cu LED-uri care emit lungimea de undă dominantă $\lambda_0 = 520\text{nm}$ sub un con cu unghi la vârf de 8.9° (**emisie presupusă uniformă în acest con**). LED-urile sunt montate în tavanul unei încăperi înaltă de 2.8m și cu o suprafață de 36.5m^2 și trebuie să asigure o iluminare de 0.95lx la nivelul podelei.
- ▶ Rezolvari: <http://rf-opto.etti.tuiasi.ro>

Continuare

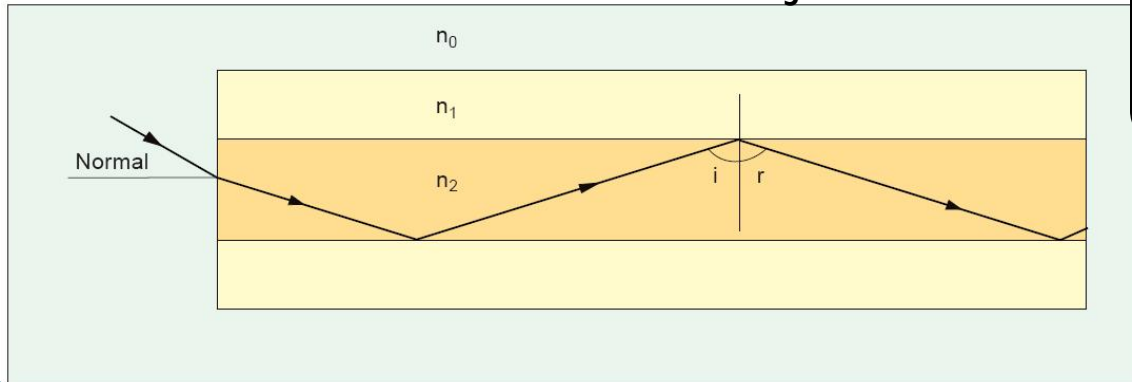
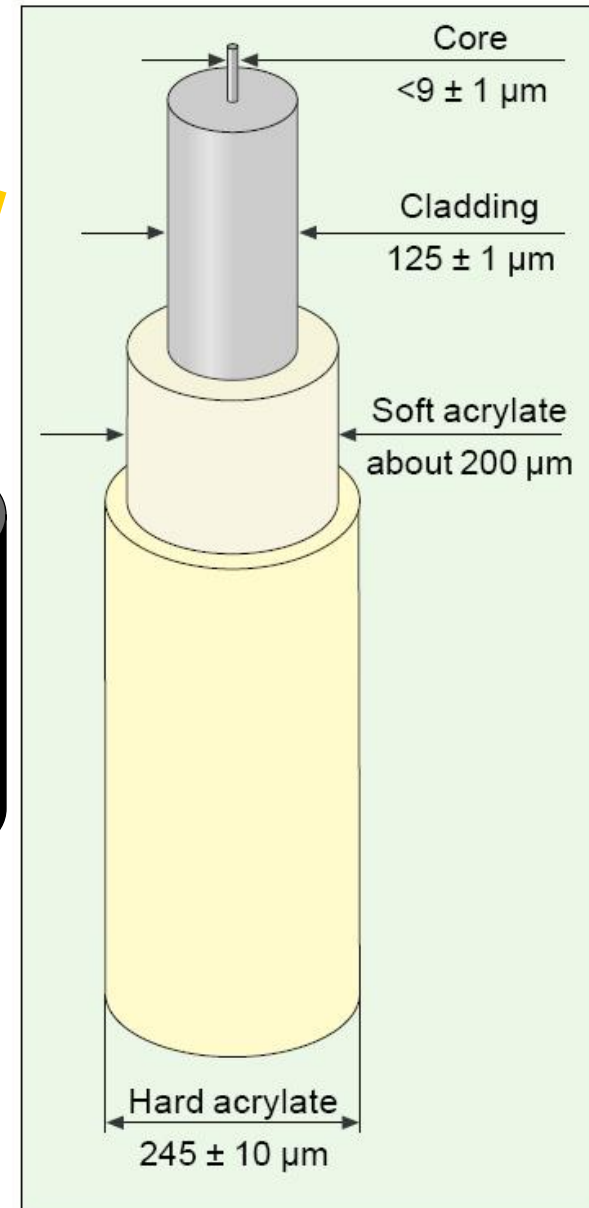
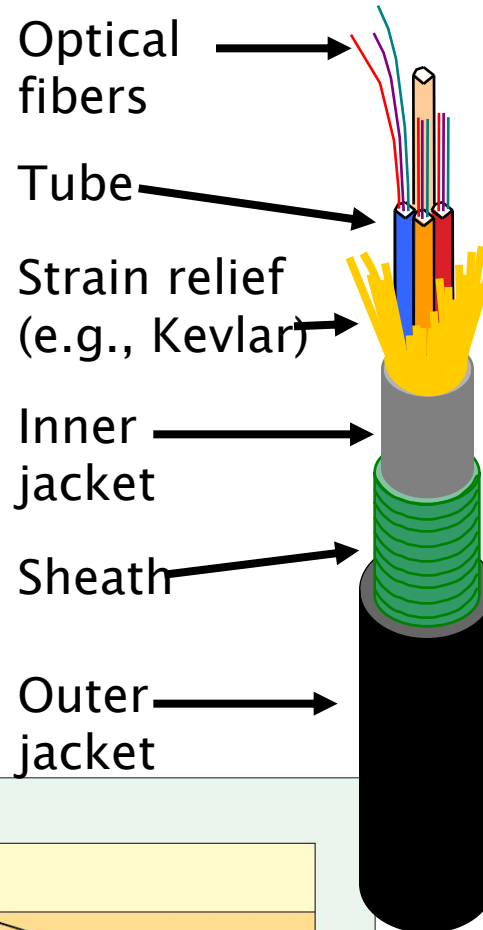


Fibra optică

Capitolul 4

Fibra optica

- ▶ un ghid de unda dielectric
 - miez
 - teaca



Unghi de acceptanta, apertura numerica

- ▶ Unghi de acceptanta

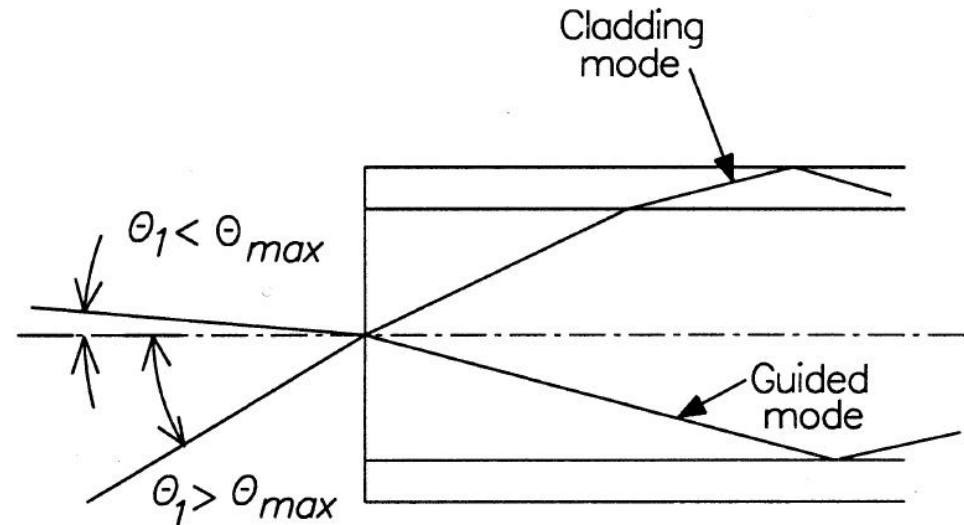
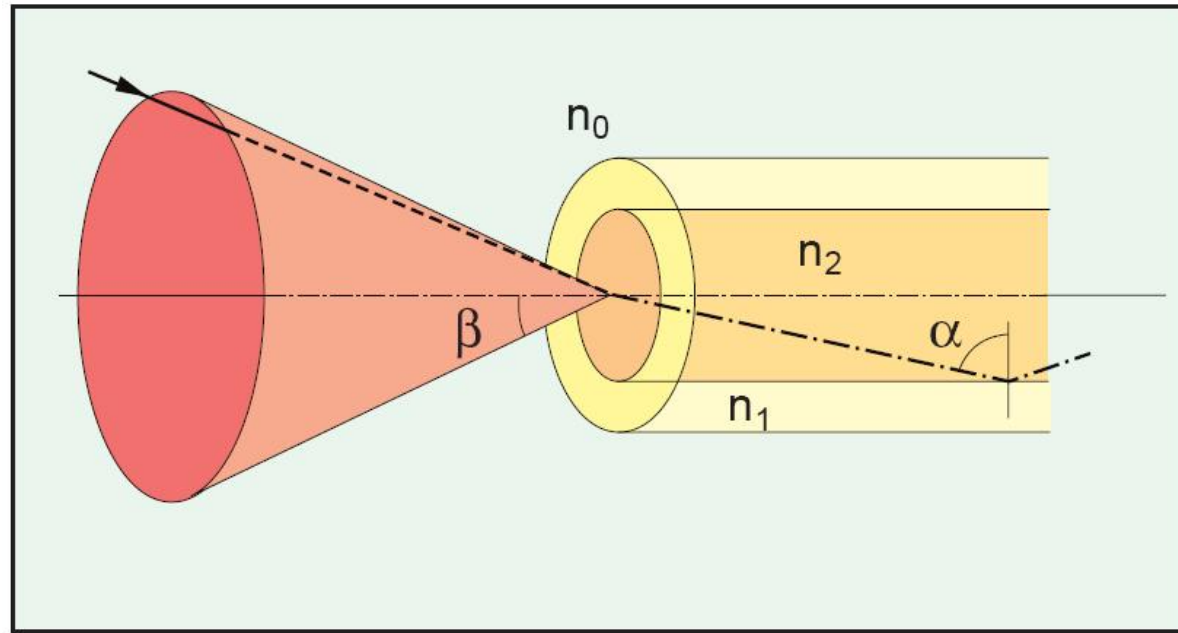
$$n_0 \cdot \sin \theta_{ACC} = n_2 \cdot \sin \phi_c$$

- ▶ **Apertura numerica**

$$NA = n_0 \cdot \sin \theta_{ACC}$$

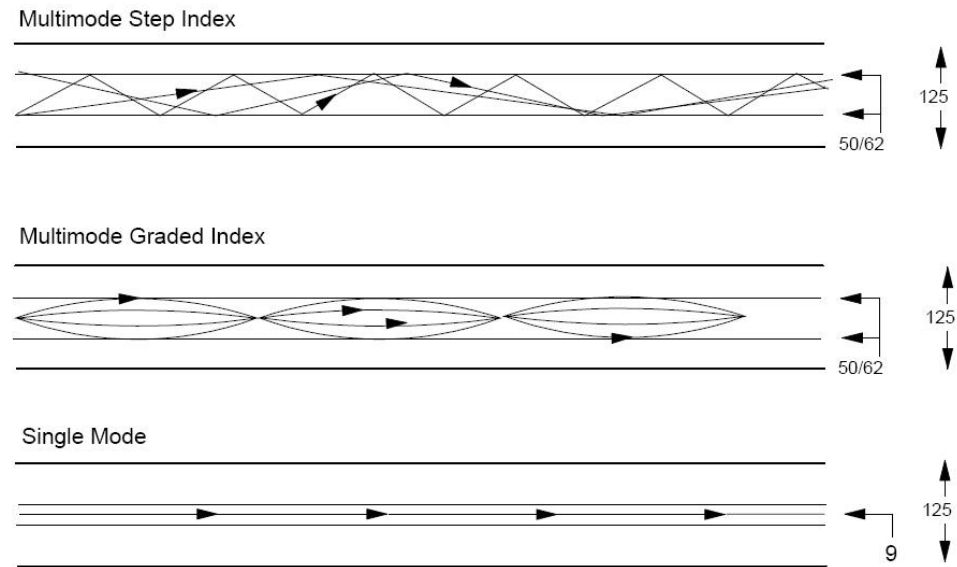
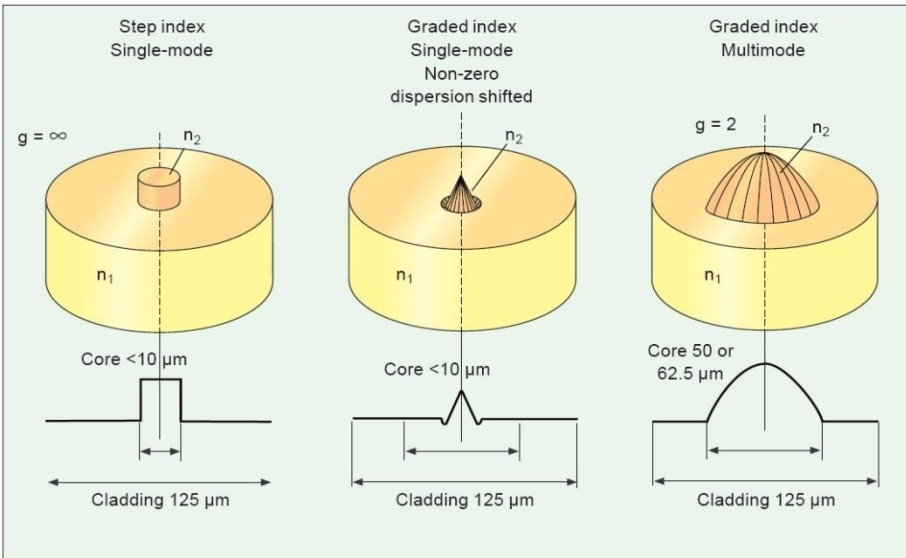
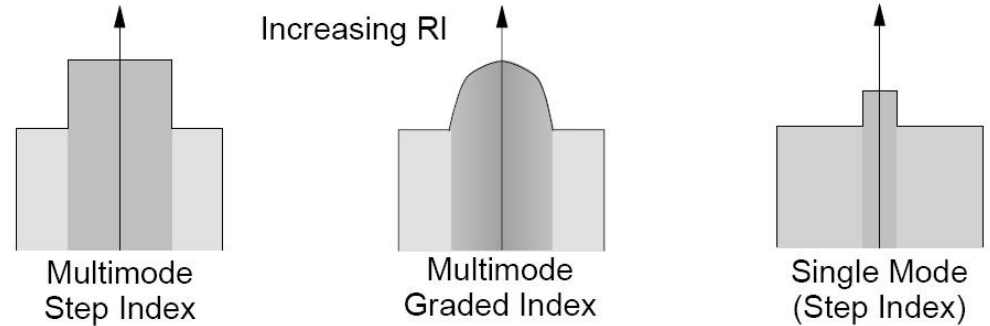
$$NA = n_2 \sqrt{\frac{n_2^2 - n_1^2}{n_2^2}} = \sqrt{n_2^2 - n_1^2}$$

n_2 - miez
 n_1 - teaca
 $n_2 > n_1$!!

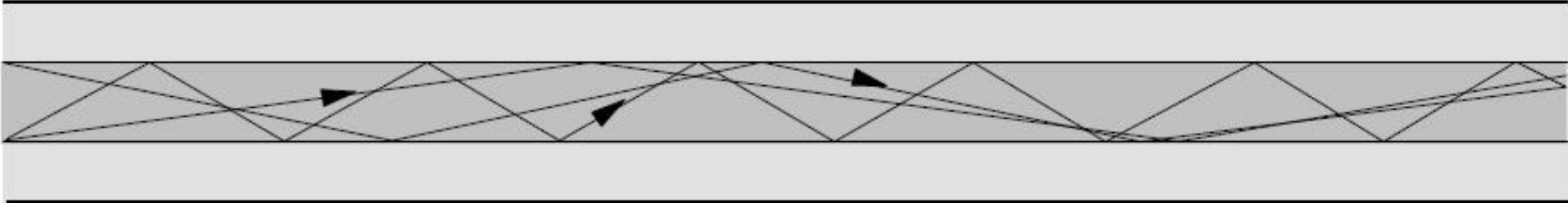


Tipuri de fibra

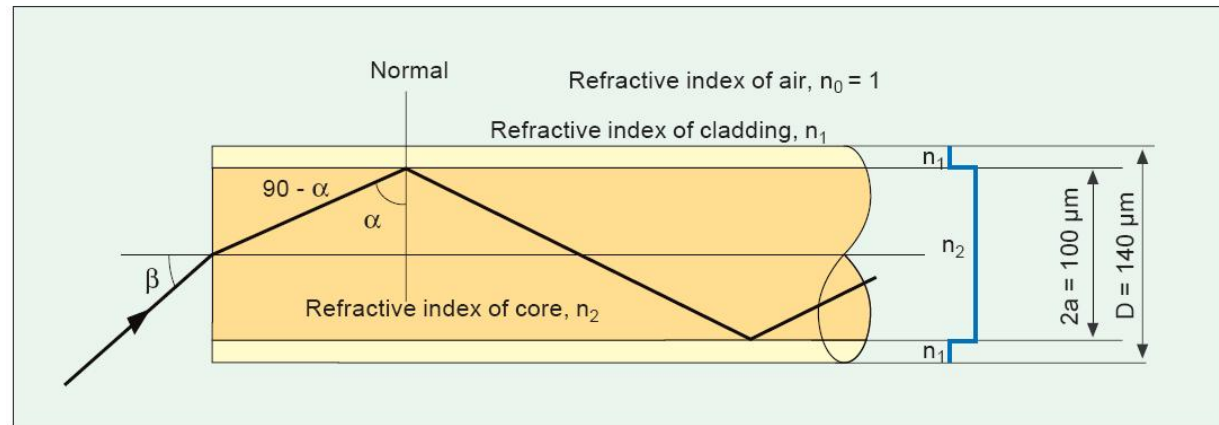
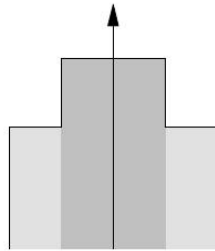
- ▶ Monomod
- ▶ Multimod
 - cu salt de indice
 - cu indice gradat



Fibre multimod cu salt de indice



- ▶ 50/125 sau 62.5/125 (μm)
- ▶ 15–50 MHz · km

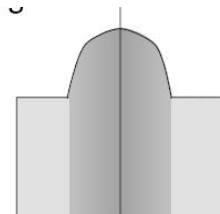
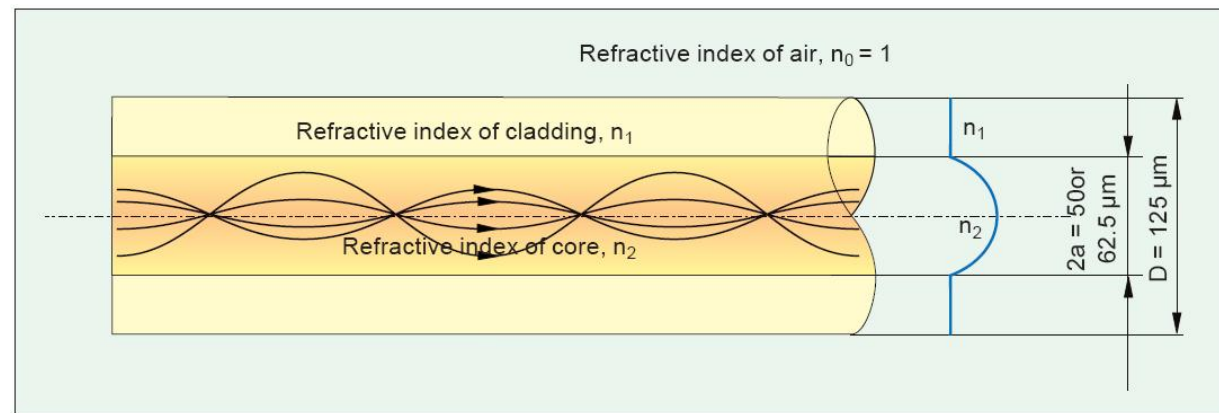


	glass	plastic
core diameter $2a$	100 μm	980 μm
cladding diameter D	140 μm	1000 μm
core refractive index n_2	1.48	
cladding refractive index n_1	1.45	

Fibre multimod cu indice gradat

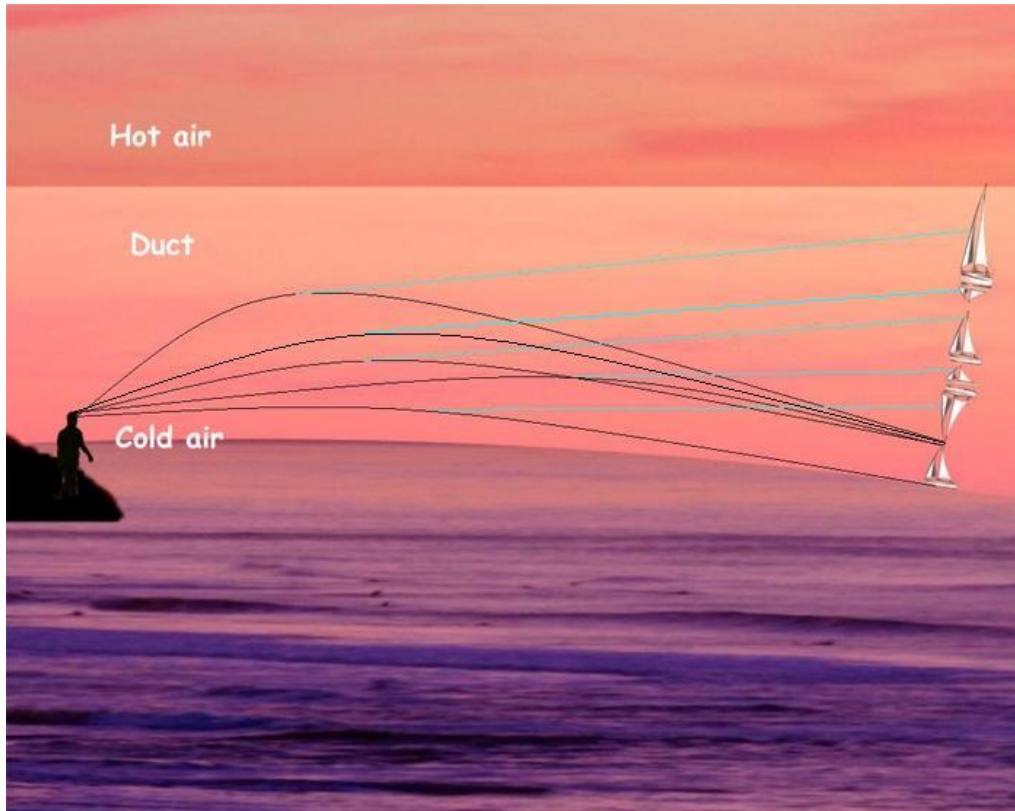


- ▶ 50/125 sau 62.5/125 (μm)
- ▶ 700–1200 MHz · km

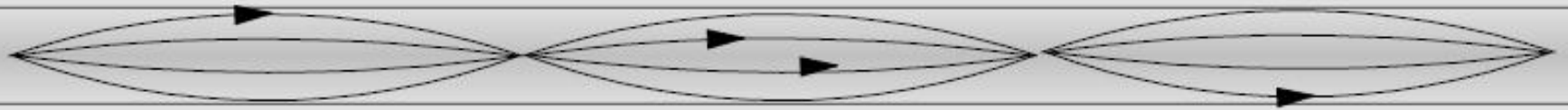


Core diameter $2a$	50 or 62.5 μm
Cladding diameter D	125 μm
Maximum refractive index, core	1.46
Relative differential refractive index	0.010

Fata Morgana



Fibre multimod cu indice gradat

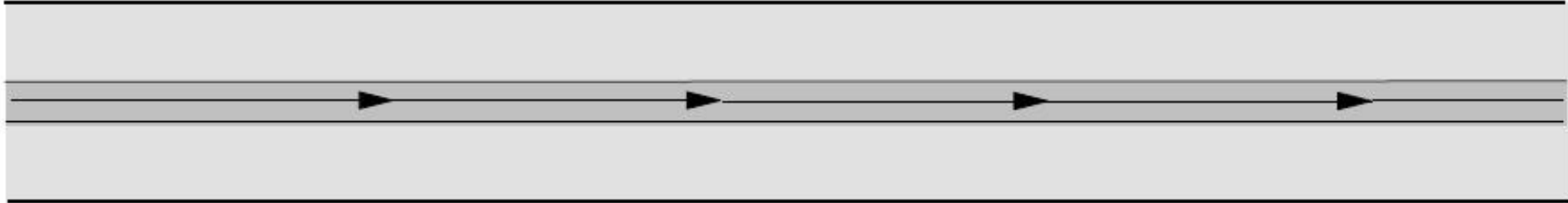


$$n(r) = n_2 \left[1 - \Delta \left(\frac{r}{a} \right)^g \right]$$

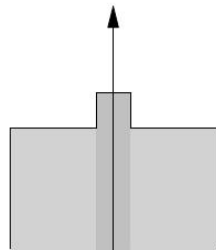
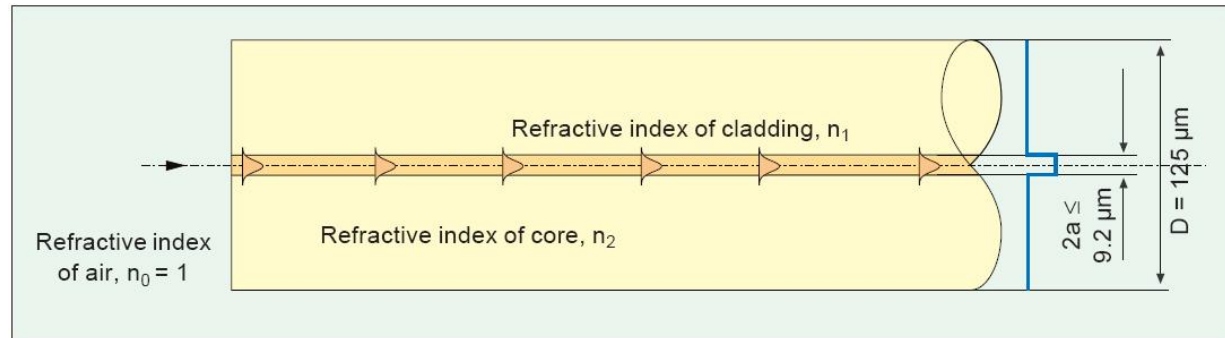
$$\Delta = \frac{NA^2}{2n_2^2} = \frac{n_2^2 - n_1^2}{2n_2^2} \approx \frac{n_2 - n_1}{n_2} \approx \frac{\Delta n}{n} \quad \text{for } \Delta \ll 1$$

- ▶ $g = 1$ - indice gradat triunghiular
- ▶ $g = 2$ - indice gradat parabolic
- ▶ $g = \infty$ - salt de indice

Fibre monomod



- ▶ 6–8/125 (μm)
- ▶ MHz · km
nerelevant
- ▶ MFD – Mode
Field Diameter



Cladding diameter D	125 μm
Core refractive index n_2	1.4485
Cladding refractive index n_1	1.4440
Refractive index differential	0.003 = 0.3%

Ghid cilindric dielectric

► Ecuatiile lui Maxwell in coordonate cilindrice

$$\frac{\partial^2 U}{\partial r^2} + \frac{1}{r} \frac{\partial U}{\partial r} + \frac{1}{r^2} \frac{\partial^2 U}{\partial \phi^2} + \frac{\partial^2 U}{\partial z^2} + n^2 k_o^2 U = 0$$

a – raza miezului
U – E(r) sau H(r)

$$U(r, \phi, z) = u(r) e^{-jl\phi} e^{-j\beta z}, \quad l = 0, \pm 1, \pm 2, \dots$$

$$\frac{d^2 u}{dr^2} + \frac{1}{r} \frac{du}{dr} + \left(n^2(r) k_o^2 - \beta^2 - \frac{l^2}{r^2} \right) u = 0$$

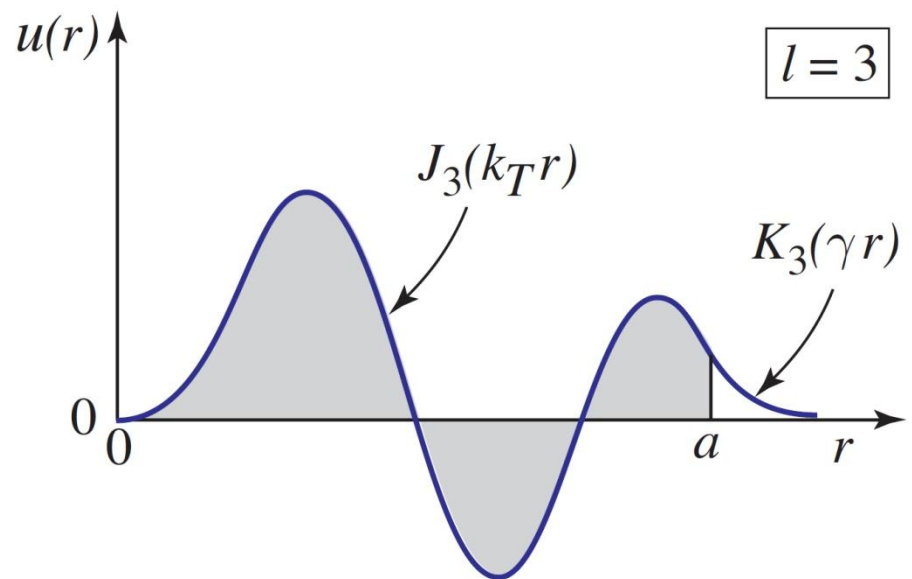
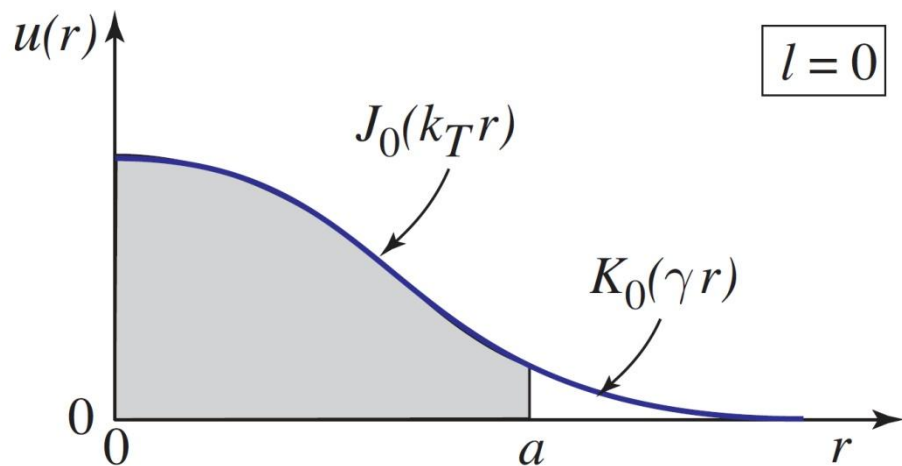
$$\frac{d^2 u}{dr^2} + \frac{1}{r} \frac{du}{dr} + \left(k_T^2 - \frac{l^2}{r^2} \right) u = 0, \quad r < a$$

$$\frac{d^2 u}{dr^2} + \frac{1}{r} \frac{du}{dr} - \left(\gamma^2 + \frac{l^2}{r^2} \right) u = 0, \quad r > a$$

Ghid cilindric dielectric

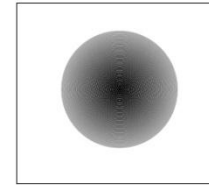
- ▶ solutii proportionale cu functii Bessel

$$u(r) \propto \begin{cases} J_l(k_T r), & r < a \quad (\text{core}) \\ K_l(\gamma r), & r > a \quad (\text{cladding}) \end{cases}$$

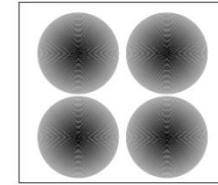


Moduri in fibra

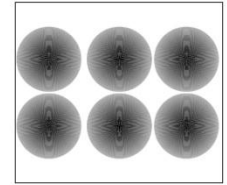
- ▶ Moduri in ghid rectangular



TEM₀₀

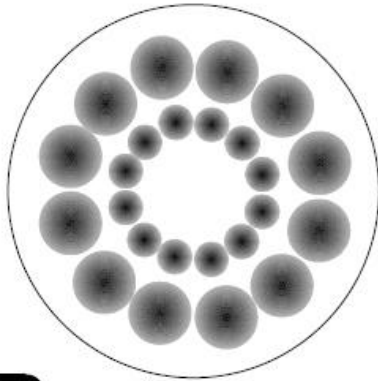


TEM₁₁

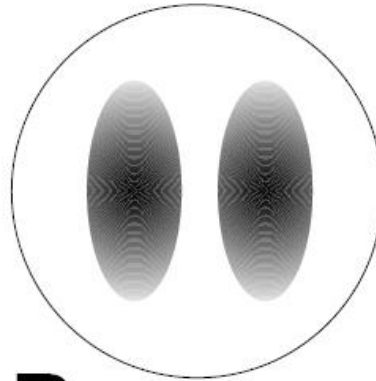


TEM₂₁

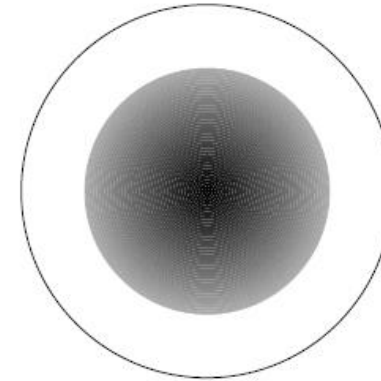
- ▶ Moduri linear polarizate in fibra



LP₆₂

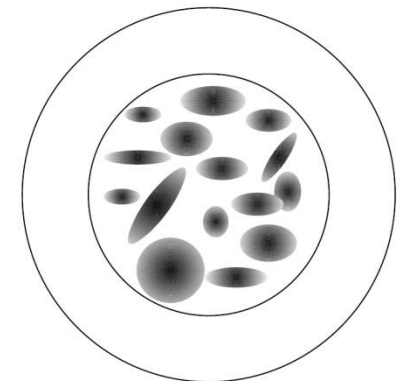


LP₁₁



LP₀₁

“Sparkle” pattern



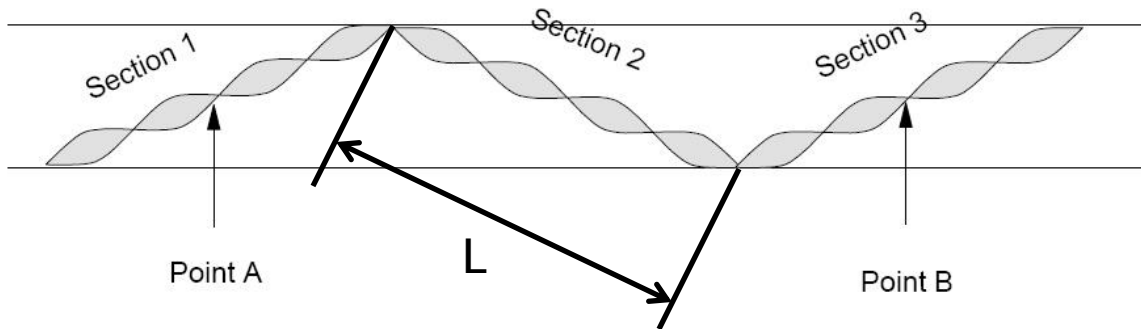
Frecventa normalizata

► Frecventa normalizata

$$V = 2\pi \frac{a}{\lambda} NA = k \cdot a \cdot NA \quad a - \text{raza miezului}$$

$$k = \frac{2\pi}{\lambda}$$

► Numar de moduri

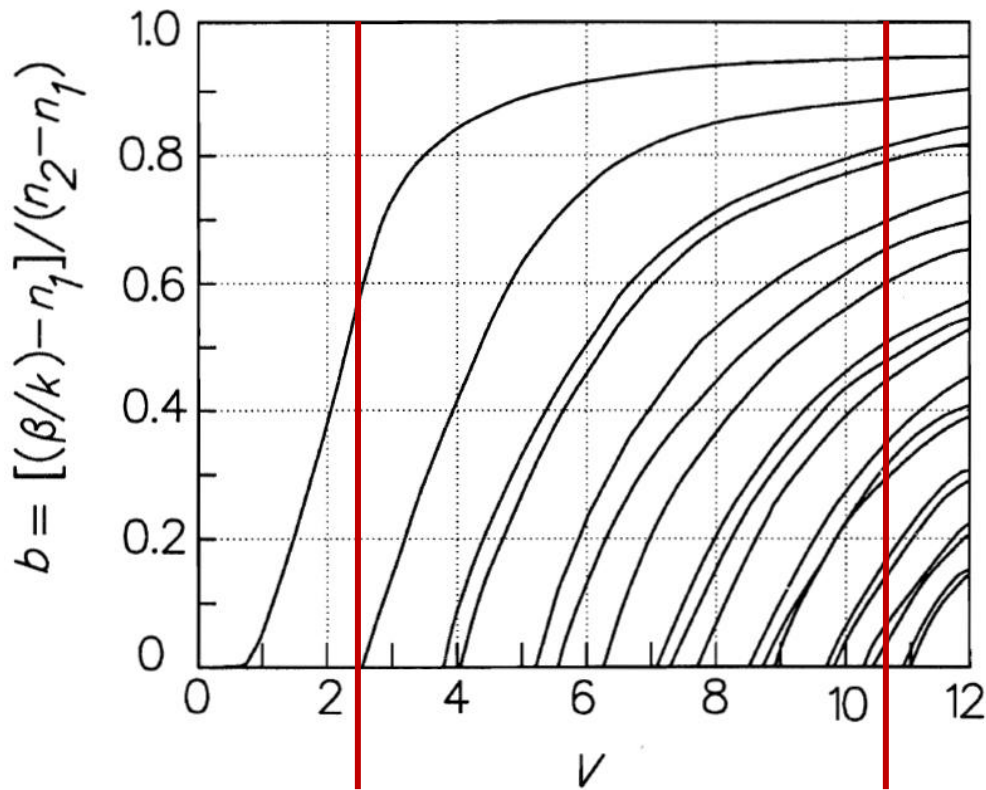


$$L = m \cdot \lambda$$

$$N \approx \frac{V^2}{2} \cdot \frac{g}{g+2}$$

Frecventa normalizata – monomod

► Fibre monomod



b – coeficient de propagare modal relativ

$$V \leq V_C = 2.405$$

exista un **singur** mod (solutii fc. Bessel)

$$\lambda \geq \lambda_C = \pi \frac{2a}{V_C} NA = \pi \frac{2a}{2.405} NA$$

Exemplu:

$$2a = 8.5 \mu\text{m}$$

$$NA = 0.11$$

$$\lambda_C = \pi \frac{8.5}{2.405} 0.11 = 1210 \text{nm}$$

Frecventa normalizata

- ▶ Numar de moduri
 - Multimod cu salt de indice

$$g = \infty \Rightarrow N \approx \frac{V^2}{2}$$

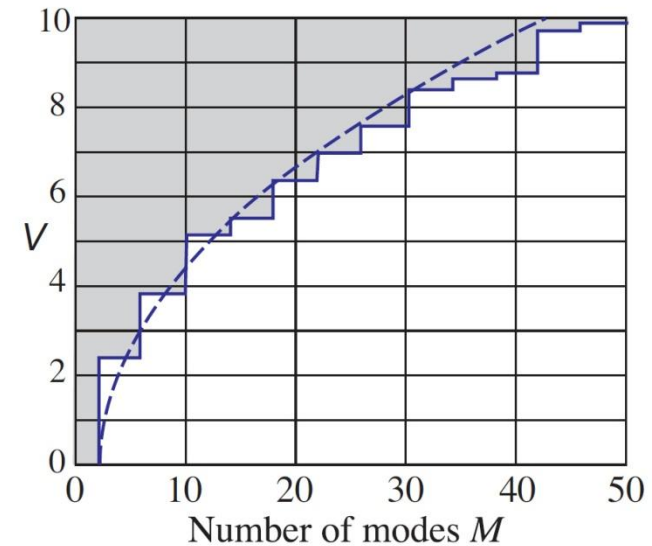
- Multimod cu indice gradat

$$g = 2 \Rightarrow N \approx \frac{V^2}{4}$$

- Monomod

$V \leq V_c = 2.405$ exista un singur mod (solutii fc. Bessel)

$$N \approx \frac{V^2}{2} \cdot \frac{g}{g+2}$$



Exemplu

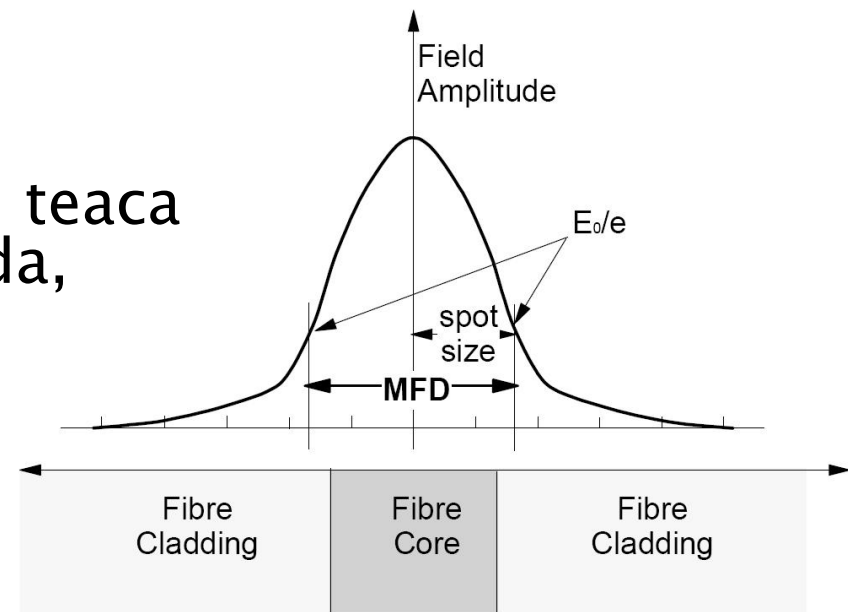
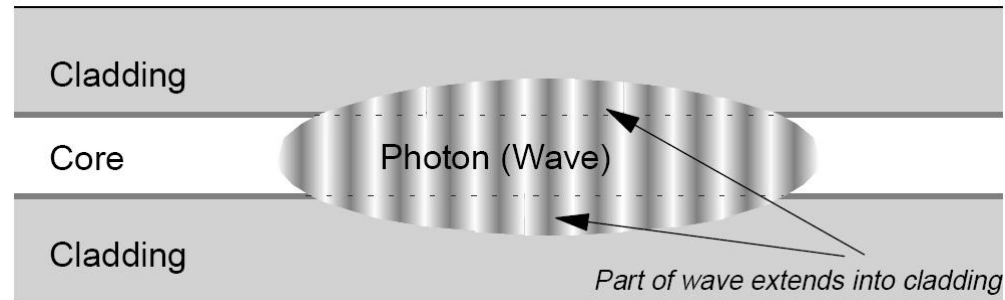
- ▶ fibra tipica multimod
 - $g=2$
 - $2a = 50\mu\text{m} \rightarrow a = 25\mu\text{m}$
 - $NA = 0.2$ la $\lambda = 1\mu\text{m}$

$$V = 2\pi \frac{a}{\lambda} NA = 2\pi \frac{25}{1} 0.2 = 2 \cdot \pi \cdot 5 \approx 31.4$$

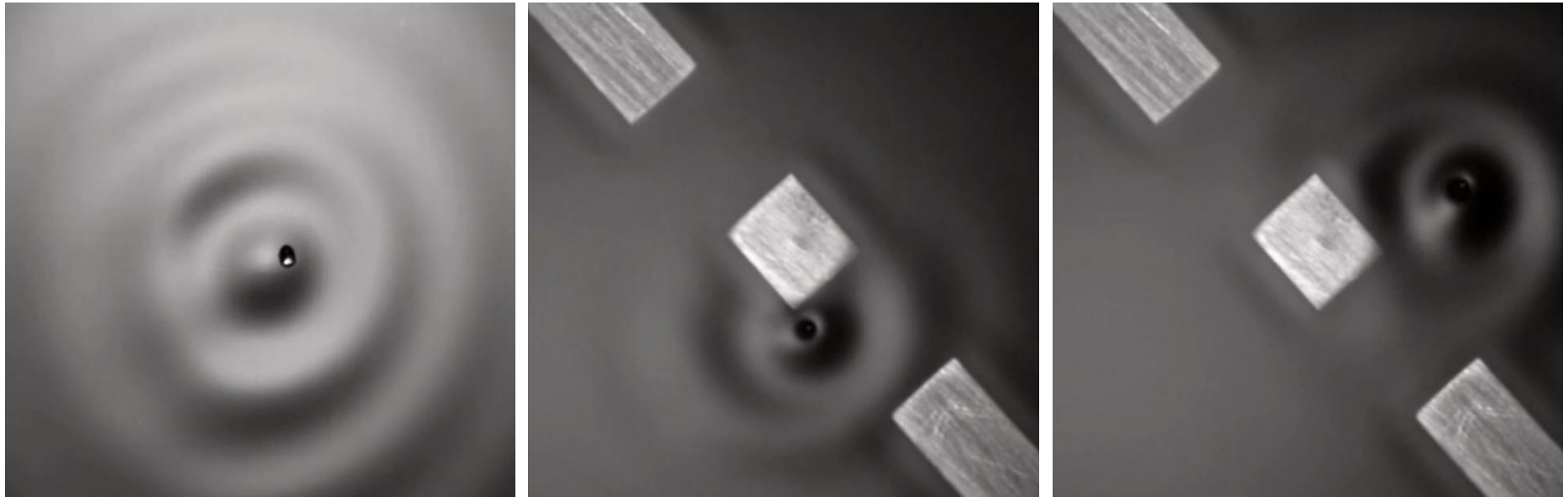
$$g = 2 \Rightarrow N = \frac{V^2}{4} = \frac{31.4^2}{4} = 247$$

Propagarea in fibra monomod

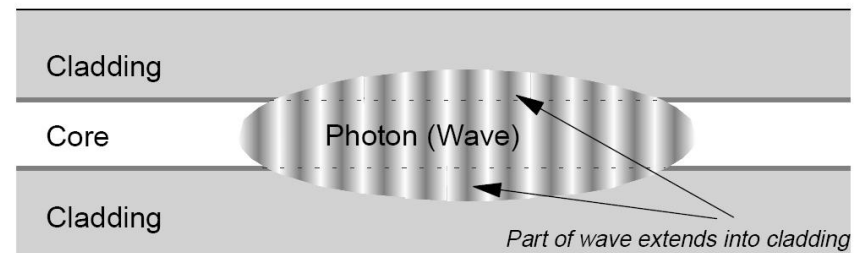
- ▶ Propagarea luminii poate fi explicata doar prin teoria electromagnetica
- ▶ Energia campului se extinde in teaca (diametrul efectiv al spotului luminos – MFD, Mode Field Diameter)
- ▶ $MFD > 2a$
- ▶ Adancimea de patrundere in teaca depinde de lungimea de unda, generand dispersia de ghid



Modelare



Through the Wormhole
S02E07 How Does the Universe Work



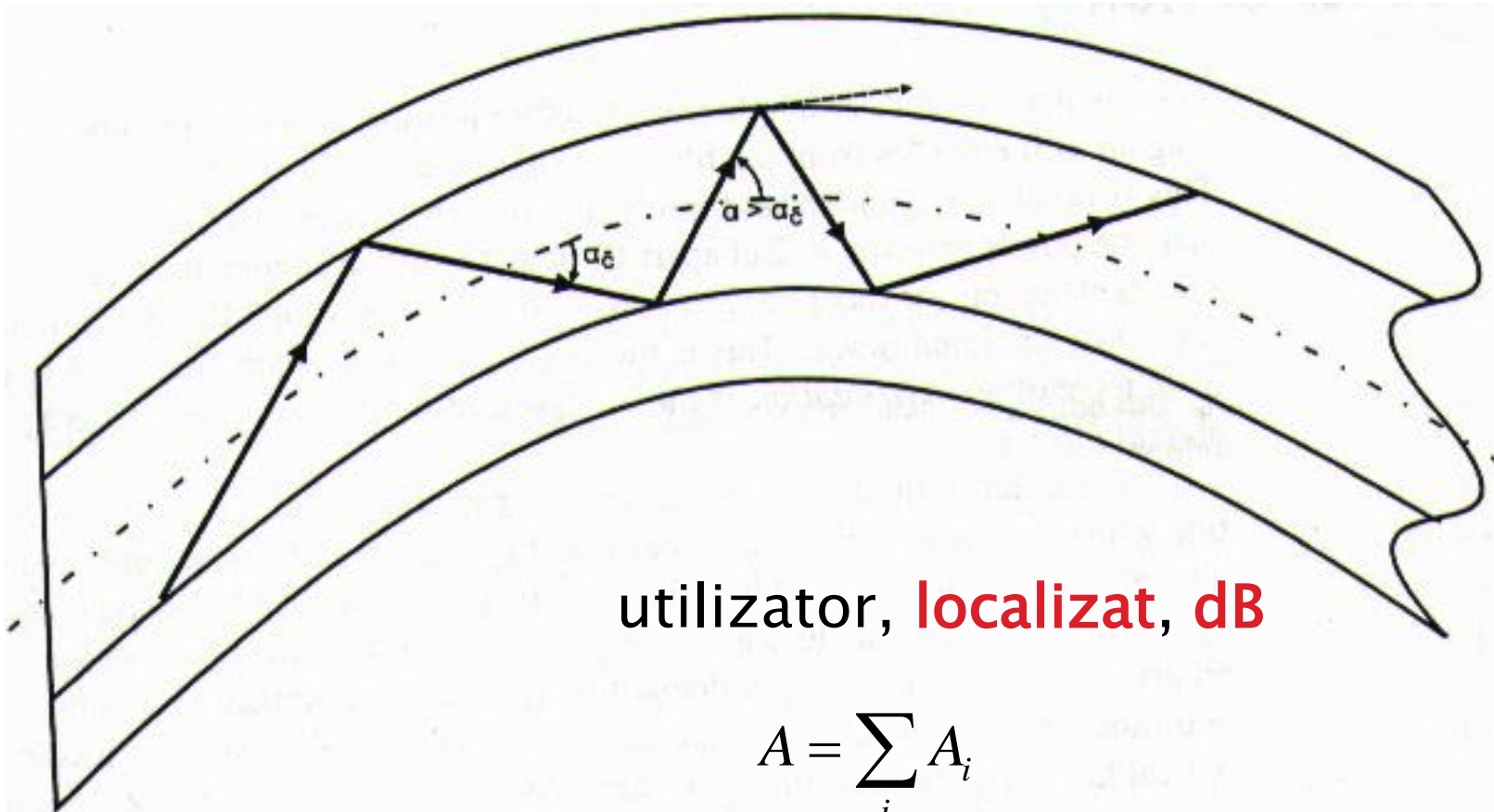
Fenomene de interes

- ▶ Cat de departe pot transmite semnalul luminos pe fibra
 - **atenuare**
- ▶ Cat de rapid pot transmite informația
 - dispersie

Atenuare

- ▶ Macrocurburi
 - utilizator, **localizat**, dB
- ▶ Discontinuitate in fibra
 - utilizator, **localizat**, dB
- ▶ Microcurburi
 - **distribuit**, tehnologie, dB/km
- ▶ Imprastiere
 - **distribuit**, tehnologie, dB/km
- ▶ Absorbție
 - **distribuit**, material, dB/km

Macrocurburi



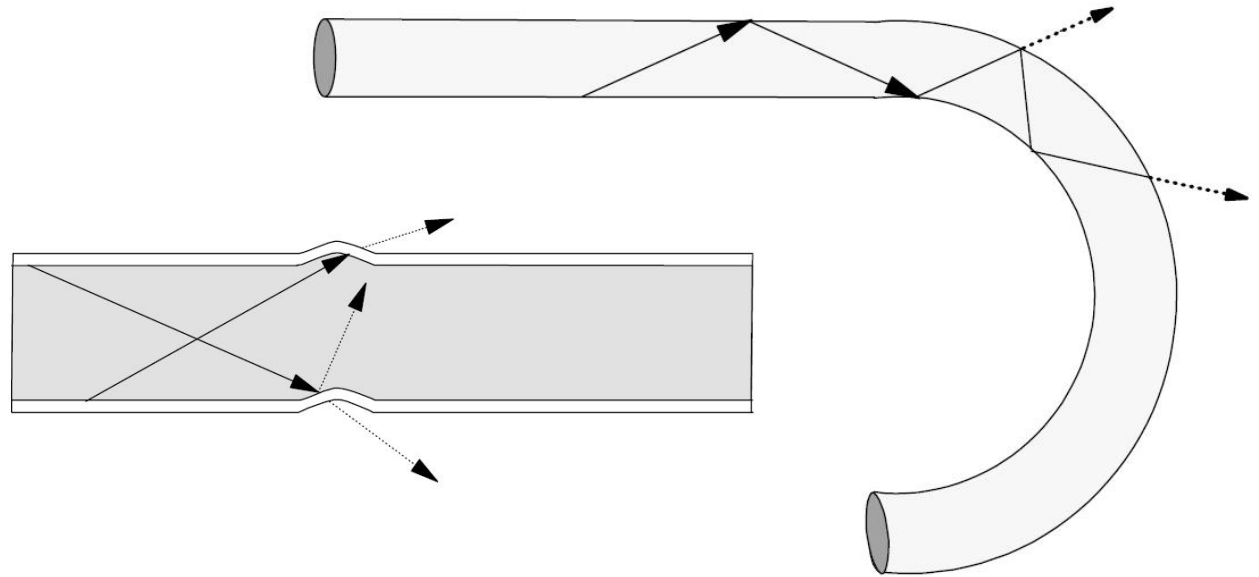
utilizator, **localizat, dB**

$$A = \sum_i A_i$$

$$A = N \cdot A_i$$

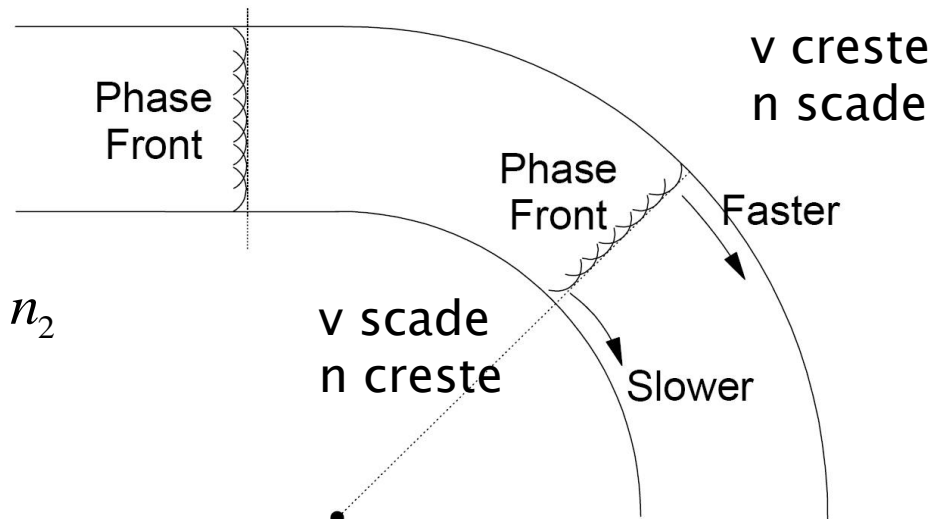
Efectul curburilor

▶ Multimod



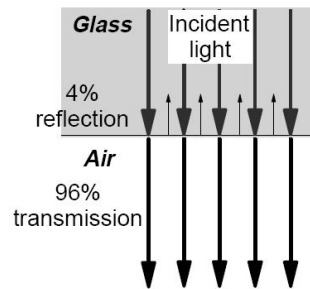
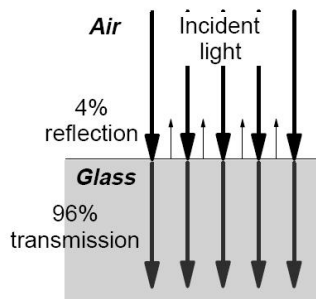
▶ Monomod

$$R > R_C \Rightarrow n_{1,ext} > n_2$$



Discontinuitate in fibra

- ▶ Apare cand nu putem considera fibra un singur ghid dielectric
 - defectiuni
 - conectori

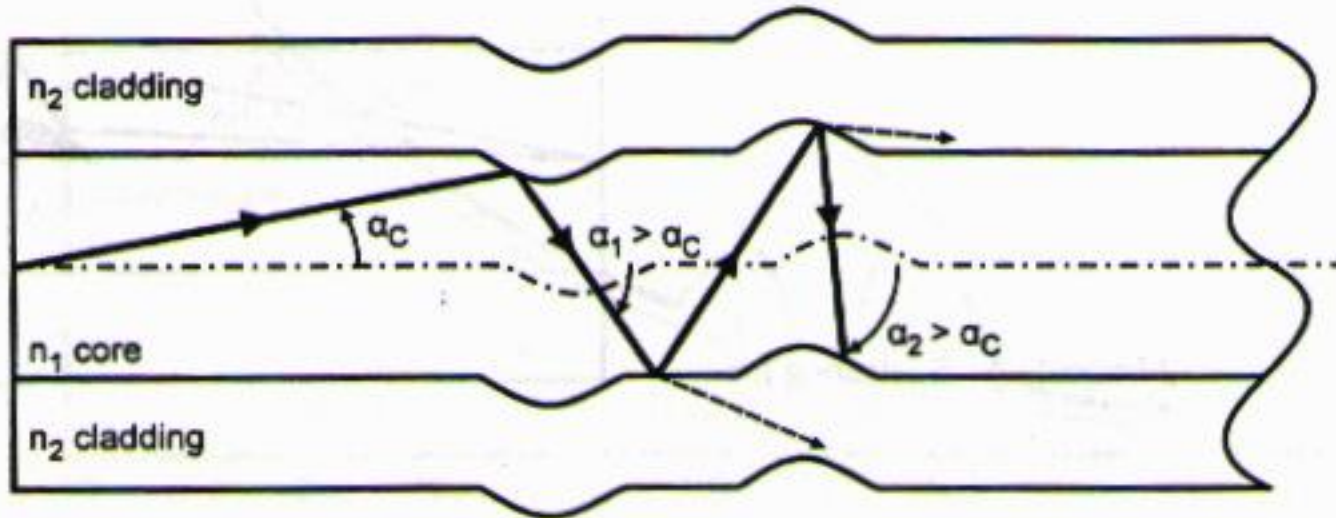


utilizator, **localizat**, dB

$$A = \sum_i A_i$$

$$A = N \cdot A_i$$

Microcurburi

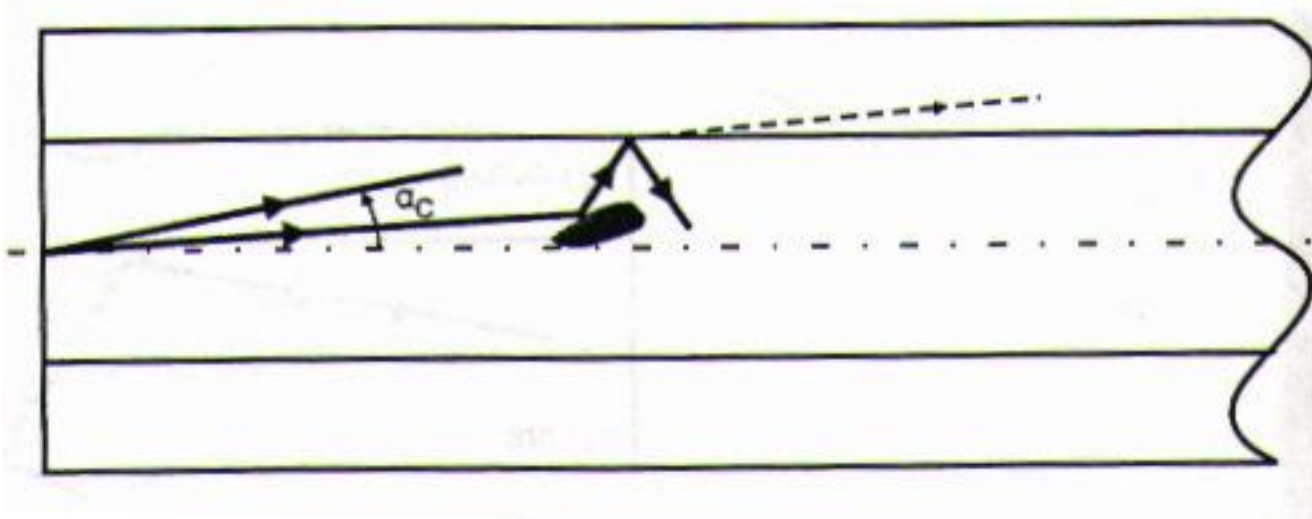


distribuit, tehnologie, **dB/km**

$$A = A_i \cdot L$$

$$A[dB] = A_i[dB/km] \cdot L[km]$$

Imprastiere

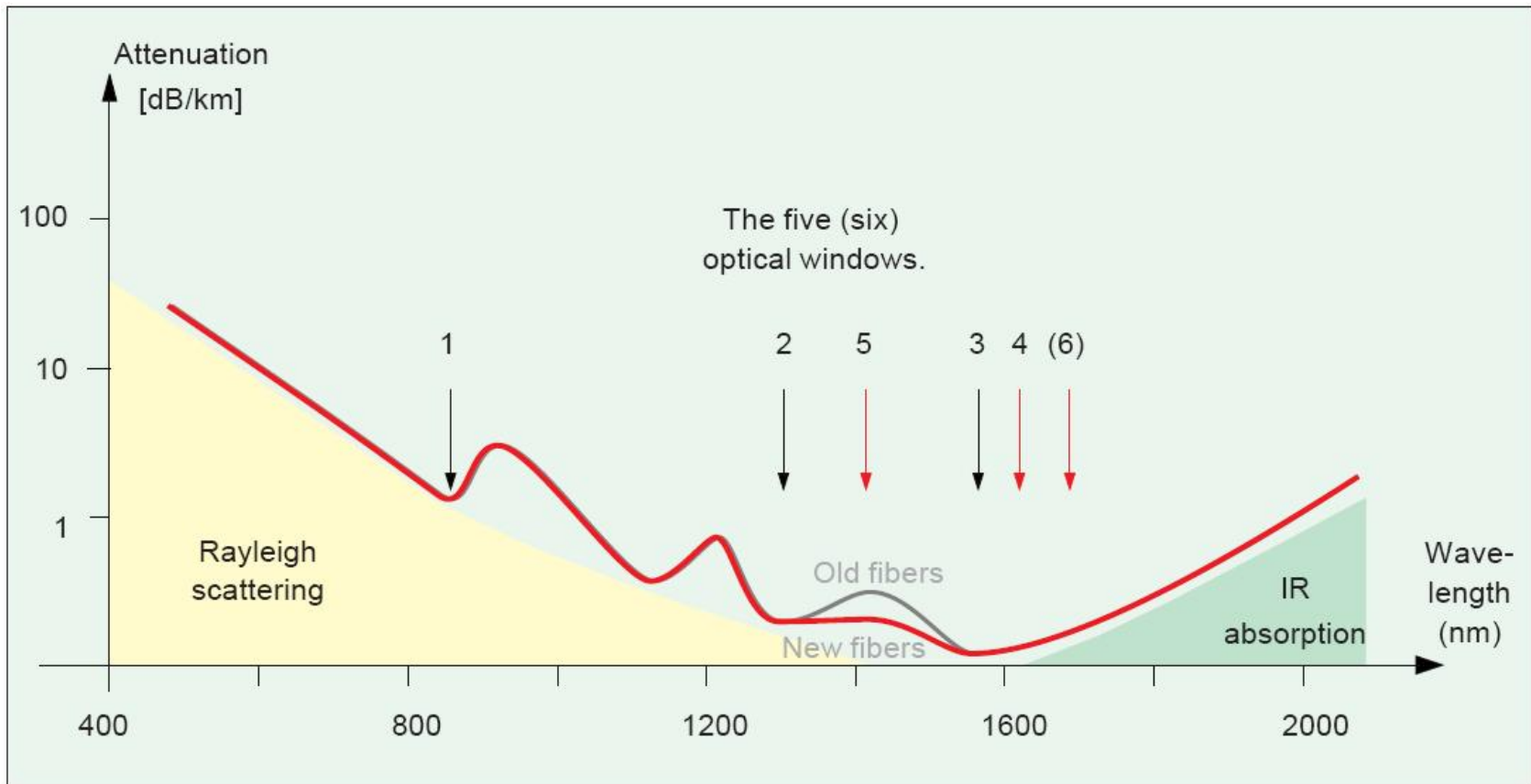


distribuit, tehnologie, **dB/km**

$$A = A_i \cdot L$$

$$A[dB] = A_i[dB/km] \cdot L[km]$$

Absorbtie

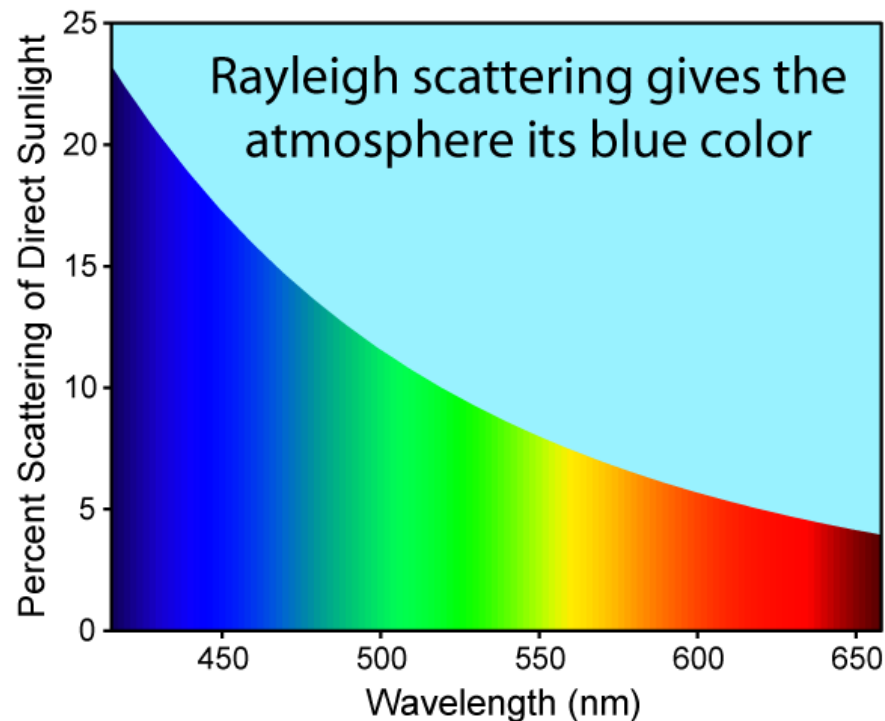


distribuit, material, dB/km

$$A[dB] = A_i[dB/km] \cdot L[km]$$

Difractie Rayleighgh

- ▶ imprastierea luminii (si a altor radiatii electromagnetice) de particule (molecule) mult mai mici decat lungimea de unda



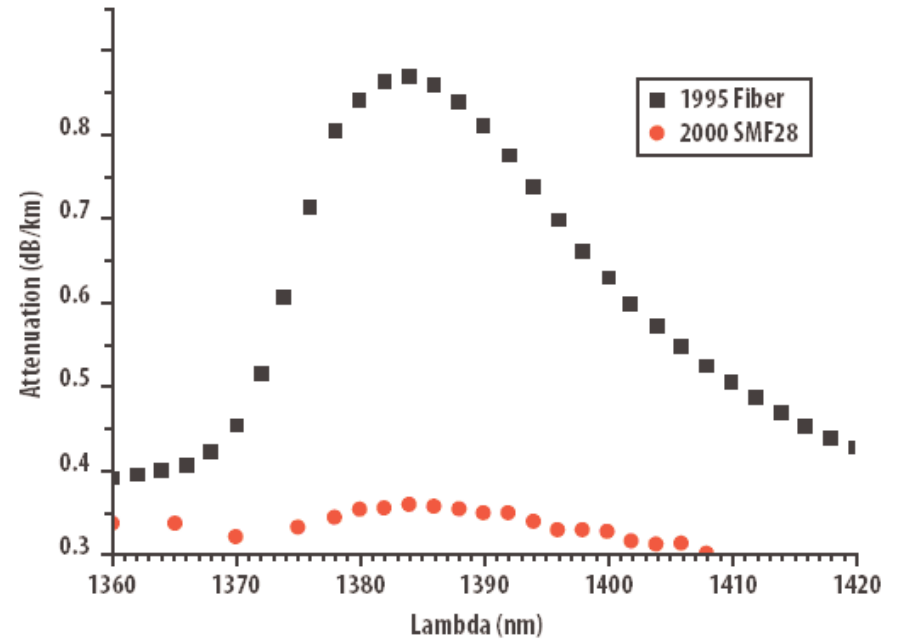
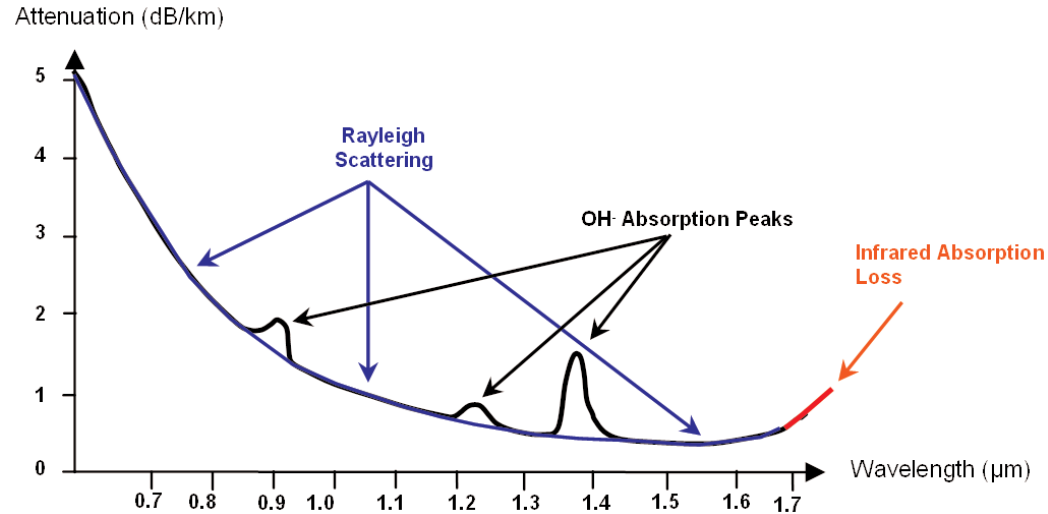
$$A \sim \frac{1}{\lambda^4}$$

Absorbentie OH

▶ Absorbentie

- 950nm
- 1244nm
- 1383nm

▶ Apa!



Fiber Attenuation Comparison

Atenuare

$$E_y(z_1) = Ct \cdot e^{-\alpha \cdot z_1} \cdot e^{j(\omega t - \beta \cdot z_1)}$$

$$E_y(z_2) = Ct \cdot e^{-\alpha \cdot z_2} \cdot e^{j(\omega t - \beta \cdot z_2)}$$

$$W, P \sim \int E^2$$

$$A = \frac{P_2}{P_1} = \frac{Ct^2 \cdot e^{-2\alpha \cdot z_2}}{Ct^2 \cdot e^{-2\alpha \cdot z_1}} = e^{-2\alpha \cdot (z_2 - z_1)}$$

$$A[dB] = 10 \log_{10} \frac{P_2}{P_1} = 10 \log_{10} \left[e^{-2\alpha \cdot (z_2 - z_1)} \right]$$

$$A[dB] = -20 \cdot \alpha \cdot (z_2 - z_1) \log_{10} e = -8.686 \cdot \alpha \cdot (z_2 - z_1)$$

$$A / L [dB / km] = -8.686 \cdot \alpha < 0$$

- ▶ Atenuarea se exprima de obicei in **dB/km**
 - ▶ de obicei valori pozitive
 - ▶ semnul = **implicit**

Calculul atenuarii

$$\text{Pierderi} = \frac{P_{out}}{P_{in}}$$

$$\text{Pierderi [dB]} = [-] 10 \cdot \log_{10} \left(\frac{P_{out}}{P_{in}} \right)$$

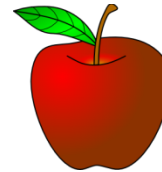
$$\text{Pierderi [dB]} = [-] (P_{out} [\text{dBm}] - P_{in} [\text{dBm}])$$



=



-



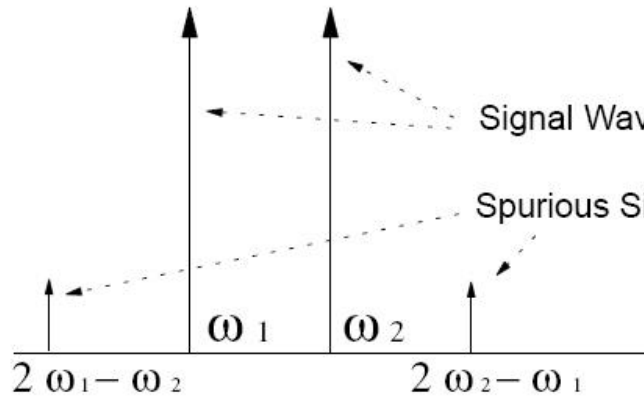
$$\text{Atenuare [dB/km]} = \frac{\text{Pierderi [dB]}}{\text{lungime [km]}}$$

Efecte neliniare in fibra

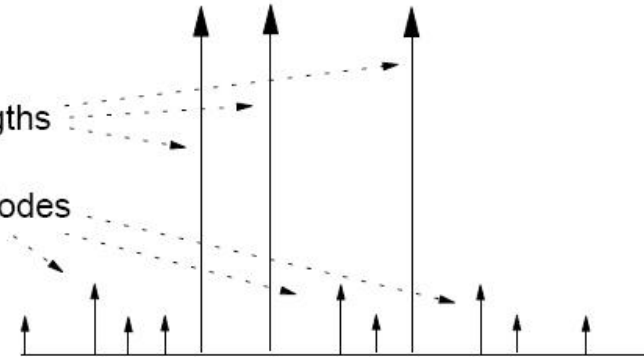
- ▶ **Stimulated Brillouin Scattering, SBC**
 - difractia luminii inspre emitator datorita undelor mecano-acustice generate in fibra
 - 6–10 dBm
- ▶ **Stimulated Raman Scattering, SRS**
 - interactiunea luminii cu vibratiile moleculare
 - 27 dBm (~1W)
- ▶ **Self Phase Modulation, SPM**
 - Frontiera impulsului implica indice de refractie variabil in timp moduland faza impulsului
 - 5 dBm
 - Cross Phase Modulation, CPM
- ▶ **Four-Wave Mixing, FWM**
 - 0 dBm

Four-Wave Mixing, FWM

Two Channels



Three Channels

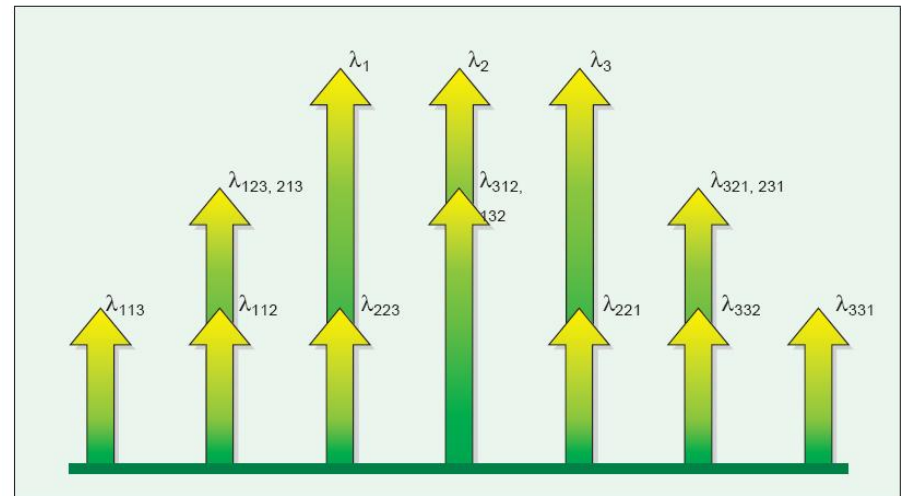


$$NL = \frac{1}{2}(N^3 - N^2)$$

$$N = 2, NL = 4$$

$$N = 3, NL = 9$$

$$N = 16, NL = 1920$$

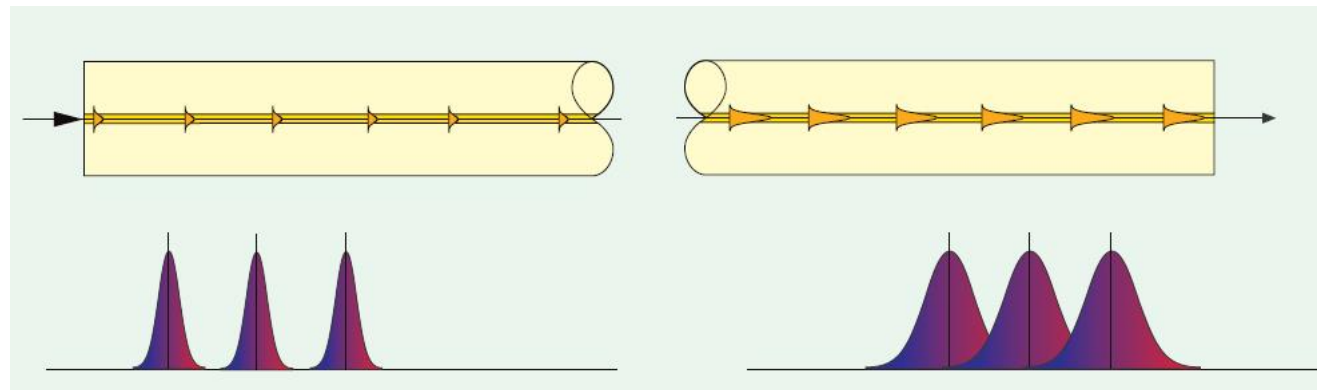


Fenomene de interes

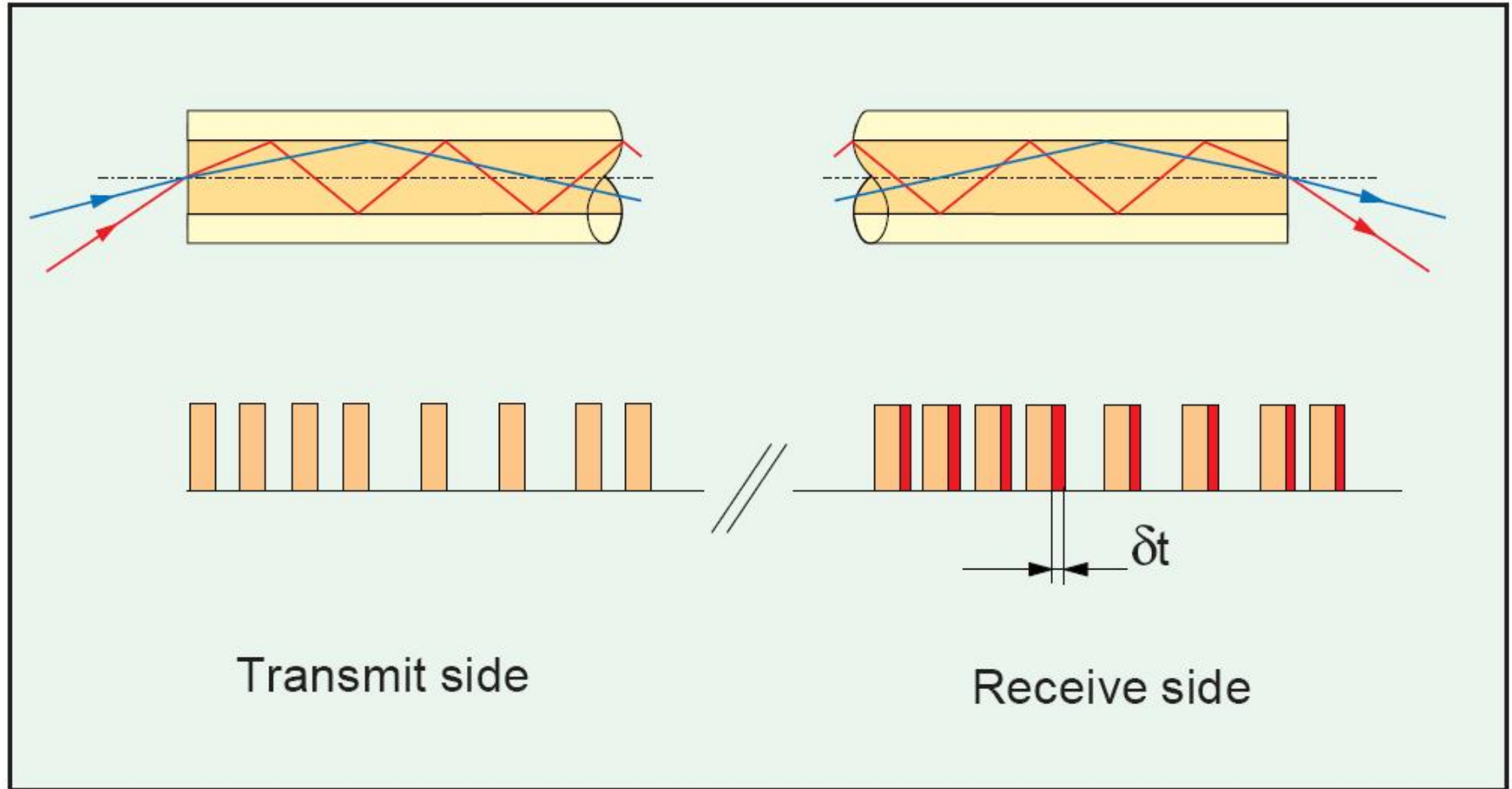
- ▶ Cat de departe pot transmite semnalul luminos pe fibra
 - atenuare
- ▶ Cat de rapid pot transmite informația
 - **dispersie**

Dispersia

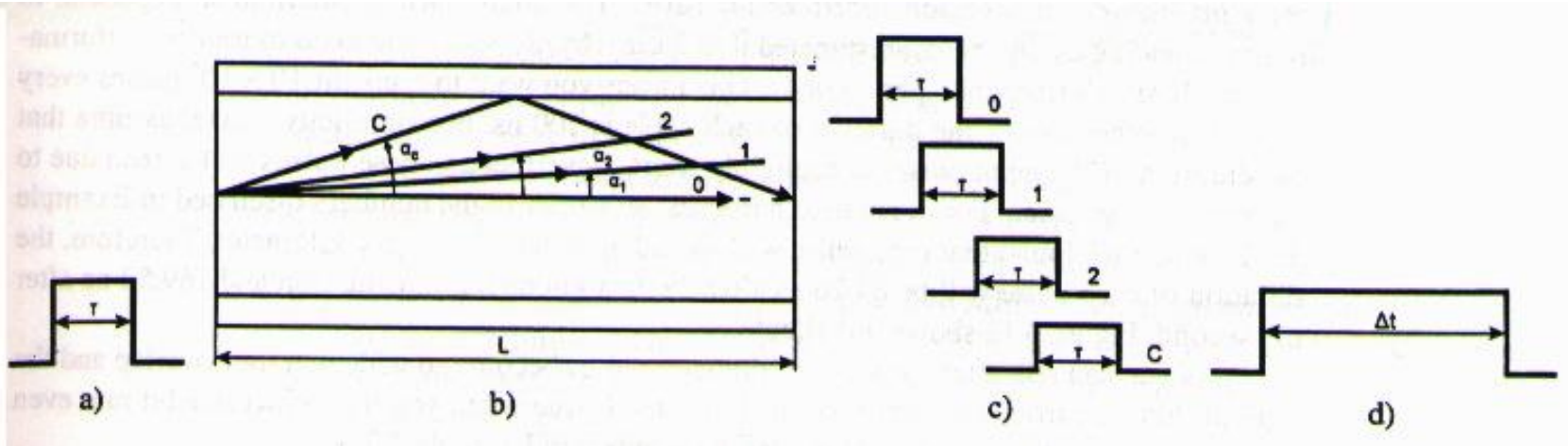
- ▶ Propagarea cu viteze diferite a radiatiilor cu lungimi de unda diferite
 - intermodala (modala – depinde de prezenta modurilor)
 - intramodala (cromatica – depinde de lungimea de unda)
 - de material
 - de ghid



Dispersia modala



Dispersia modala



$$t_0 = \frac{L}{v}$$

$$t_C = \frac{L}{v \cdot \cos \alpha_C}$$

$$v = \frac{c}{n_2}$$

$$\cos \alpha_C = NA$$

$$\Delta t_{SI} = t_C - t_0 = \frac{L \cdot n_2}{c} \cdot \left(\frac{n_2 - n_1}{n_2} \right)$$

$$\Delta t_{SI} = t_C - t_0 = \frac{L \cdot n_2}{c} \cdot \Delta$$

$$\Delta = \frac{n_2 - n_1}{n_1} \lll 1$$

$$\Delta t_{SI} = t_C - t_0 \approx \frac{L}{2 \cdot c \cdot n_2} \cdot (NA)^2$$

Dispersia modala

▶ salt de indice

$$dt = \frac{L \cdot n_2^2}{c \cdot n_1} \left(\frac{n_2 - n_1}{n_2} \right) \approx \frac{L \cdot NA^2}{2 \cdot c \cdot n_2}$$

intarzierea intre
moduri cand

$$\Delta = \frac{n_2 - n_1}{n_1} \ll 1$$

$$\Delta \tau_{\text{mod}}^2 = \frac{1}{3} \left(\frac{dt}{2} \right)^2$$

$$\Delta \tau_{\text{mod}} \cong \frac{L \cdot n_2 \cdot \Delta}{2\sqrt{3} \cdot c} \approx \frac{L \cdot NA^2}{4\sqrt{3} \cdot c \cdot n_2}$$

▶ indice gradat

$$dt = \frac{L \cdot n_2 \cdot \Delta^2}{2c} \approx \frac{L \cdot NA^4}{8 \cdot c \cdot n_2^3}$$

$$\Delta \tau_{\text{mod}} \cong \frac{L \cdot n_2 \cdot \Delta^2}{4\sqrt{3} \cdot c}$$

$$NA = 0.1 \div 0.2 < 1$$

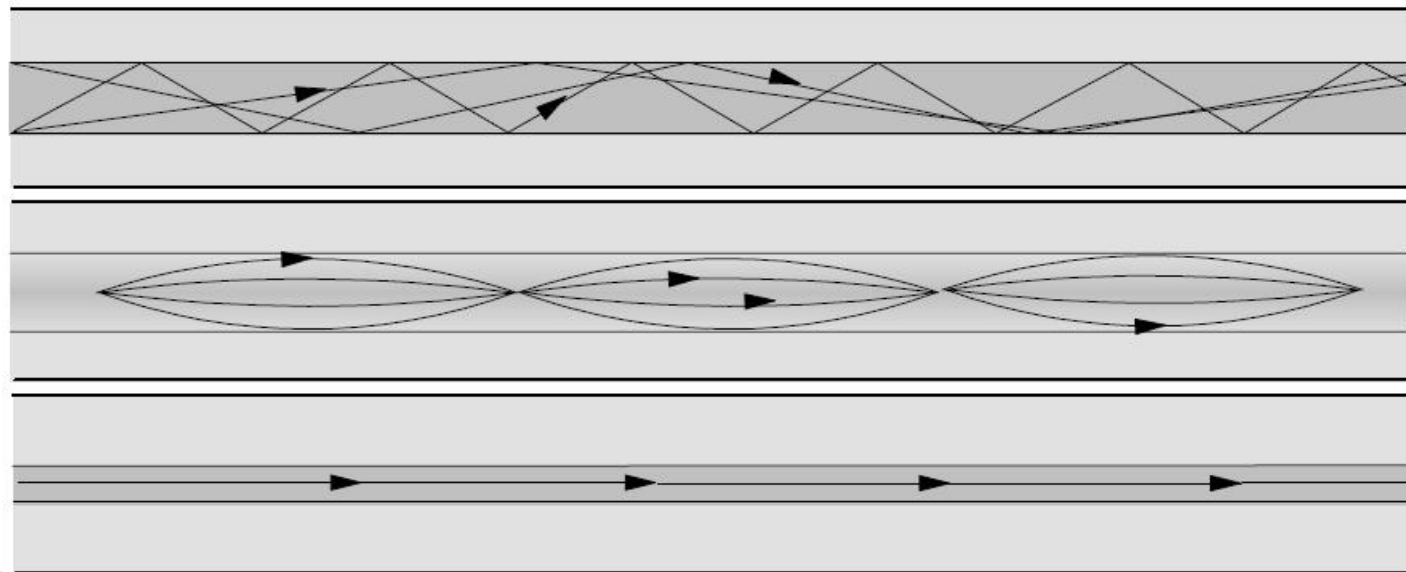
n_2 - miez

n_1 - teaca

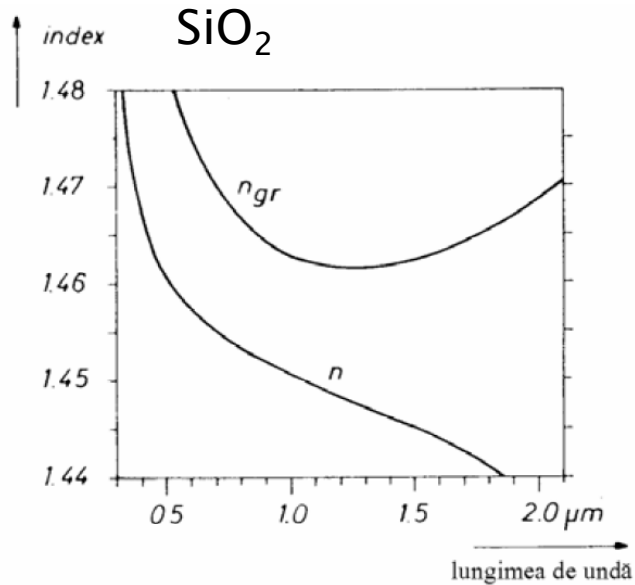
$n_2 > n_1$!!

Dispersia modala

- ▶ Mai mare la fibre multimod cu salt de indice
- ▶ Mai mica la fibre multimod cu indice gradat
 - traseele mai lungi trec prin zone cu indice mai mic
- ▶ Inexistenta la fibrele monomod

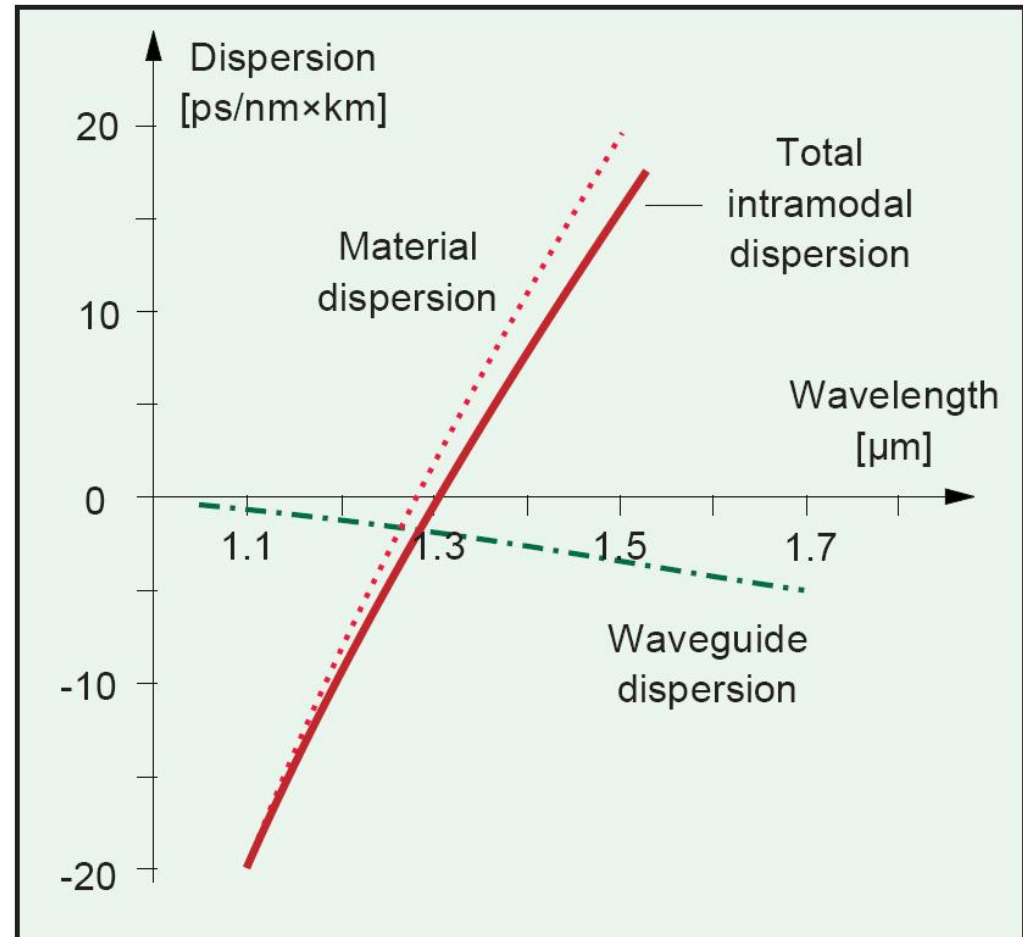


Dispersia de material



$$n_{gr} = n - \lambda \frac{dn}{d\lambda}$$

$$\Delta\tau_{mat} = \frac{L \cdot \lambda \cdot \Delta\lambda}{c} \cdot \frac{d^2n}{d\lambda^2}$$

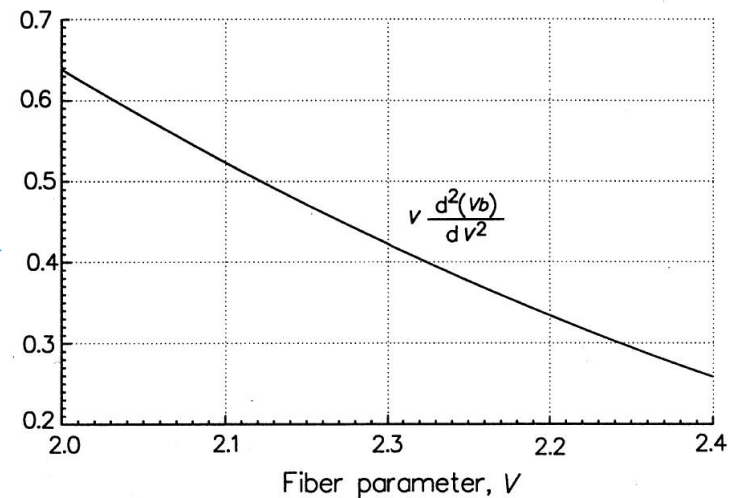
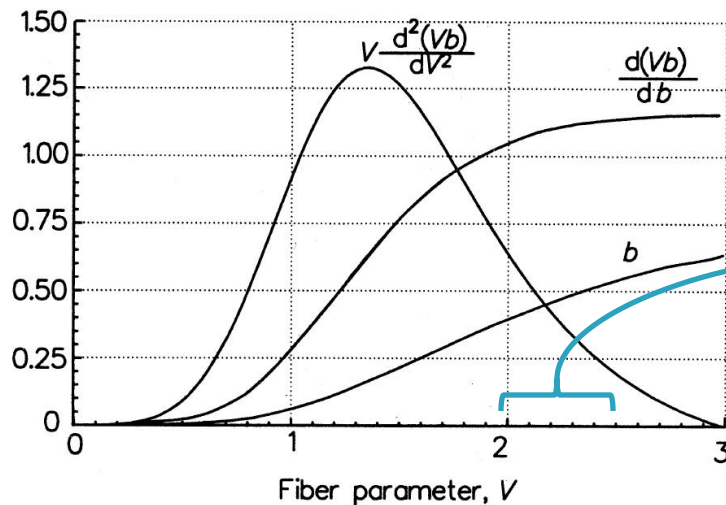


Dispersia de ghid

- ▶ Neglijabila in fibrele multimod fata de dispersia modala

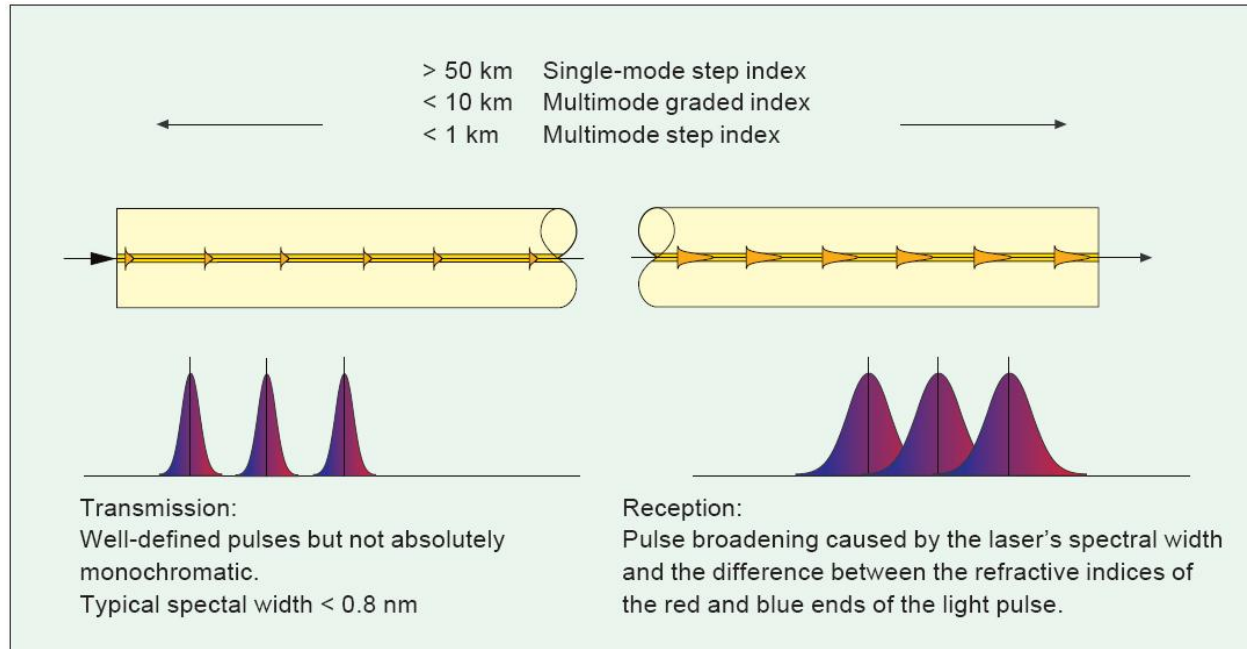
$$\Delta\tau_{gh} = \frac{n \cdot L \cdot \Delta}{c} \cdot \frac{\Delta\lambda}{\lambda} \cdot \left(V \frac{d^2(Vb)}{dV^2} \right)$$

b – constanta de propagare normalizata



$$V \leq V_C = 2.405$$

Dispersia cromatica (gh+mat)



$$\Delta\tau_{cr} = D(\lambda) \cdot \Delta\lambda \cdot L$$

$$D(\lambda) = \frac{S_0}{4} \cdot \left(\lambda - \frac{\lambda_0^4}{\lambda^3} \right)$$

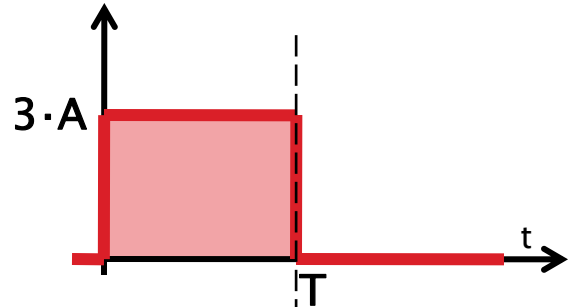
S_0 panta dispersiei - ps/nm²/km

$$D(\lambda_0) = 0$$

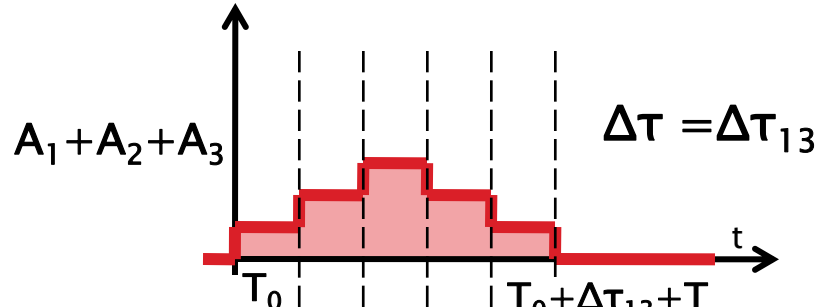
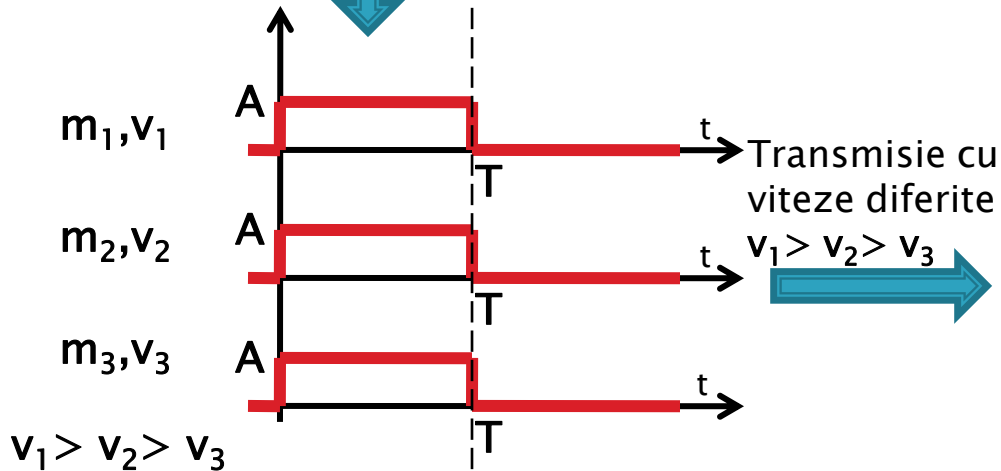
- ▶ $D(\lambda) \approx 100 + 0.4 (850 - \lambda)$ [ps/nm/km]
pentru $800 < \lambda < 900$ nm
- ▶ $D(\lambda) \leq 3,5$ ps/nm/km
pentru $1285 < \lambda < 1330$ nm
- ▶ $D(\lambda) \leq 17$ ps/nm/km
pentru $1525 < \lambda < 1575$ nm

$$D(\lambda) = \frac{S_0}{4} \cdot \left(\lambda - \frac{\lambda_0^4}{\lambda^3} \right)$$

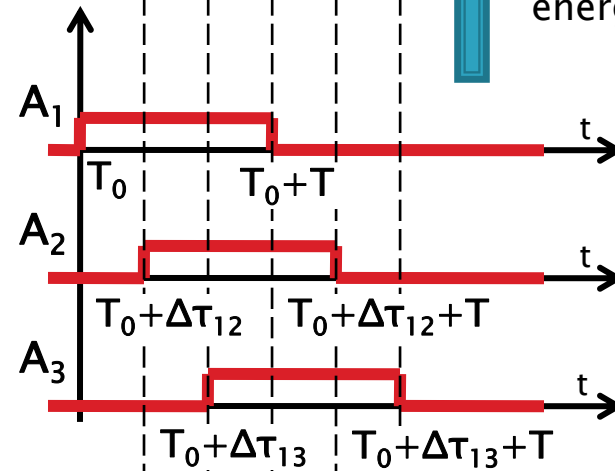
Dispersia modala



Impartire energie pe moduri

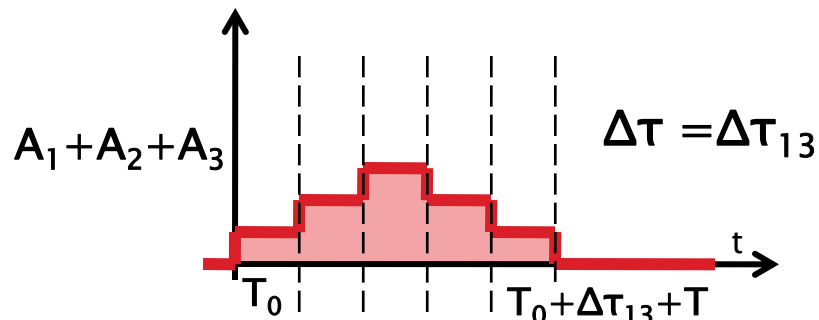
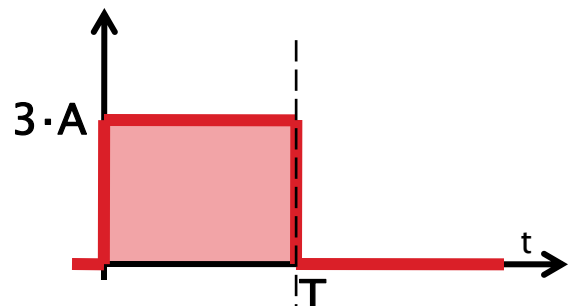


Recombinarea energiei modurilor

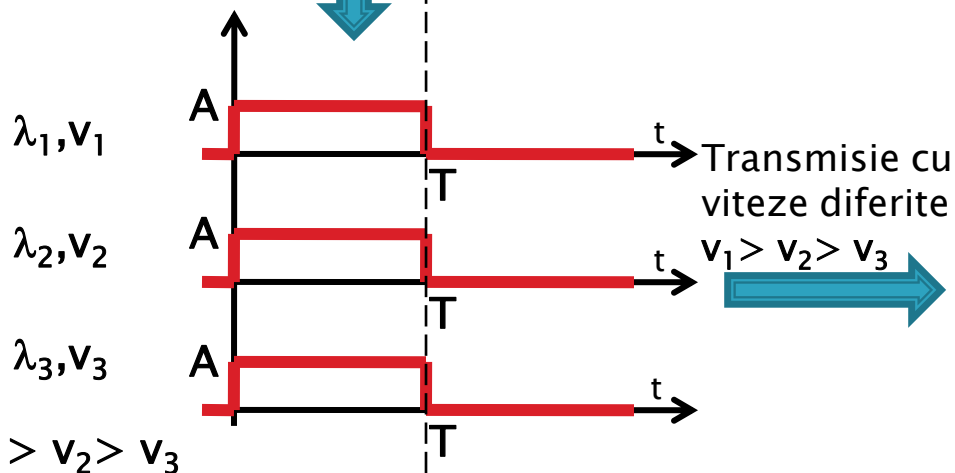
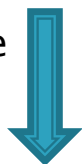


Conceptual $\rightarrow f(t) = \int_{-\infty}^{\infty} g(\omega) \cdot e^{j\omega t} d\omega$

Dispersia cromatica (gh+mat)



Impartire energie pe lungimi de unda

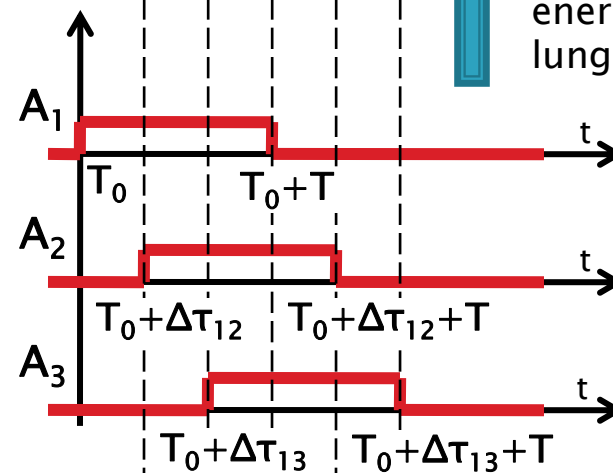


Transmisie cu viteze diferite

$v_1 > v_2 > v_3$

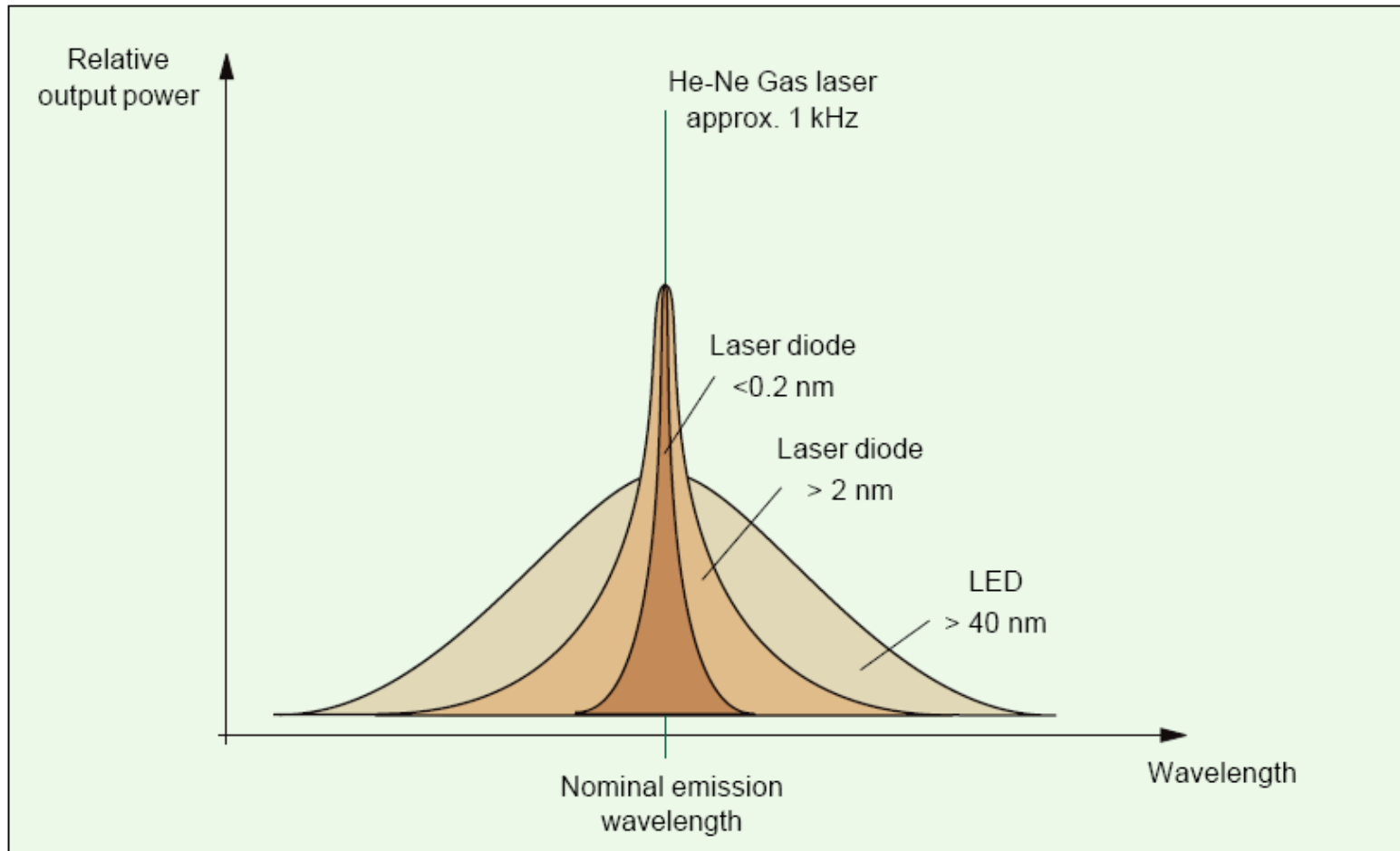


Recombinarea energiei la diferite lungimi de unda



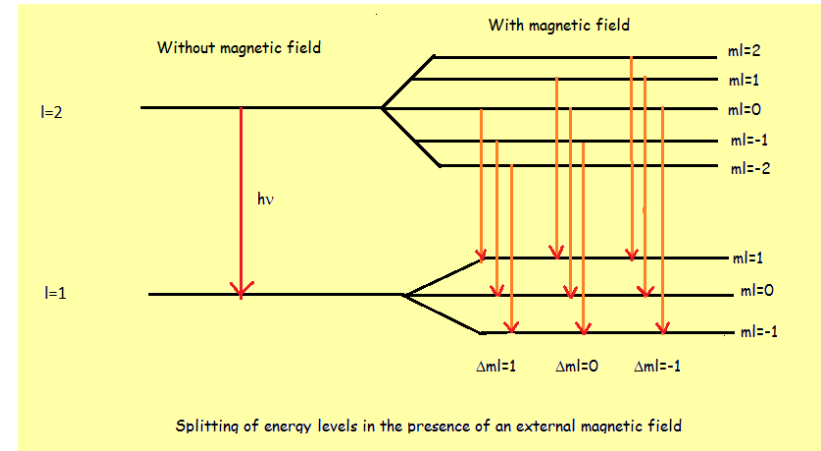
Efectiv $\rightarrow f(t) = \int_{-\infty}^{\infty} g(\omega) \cdot e^{j\omega t} d\omega$

Calitatea spectrală a emițătorilor optici

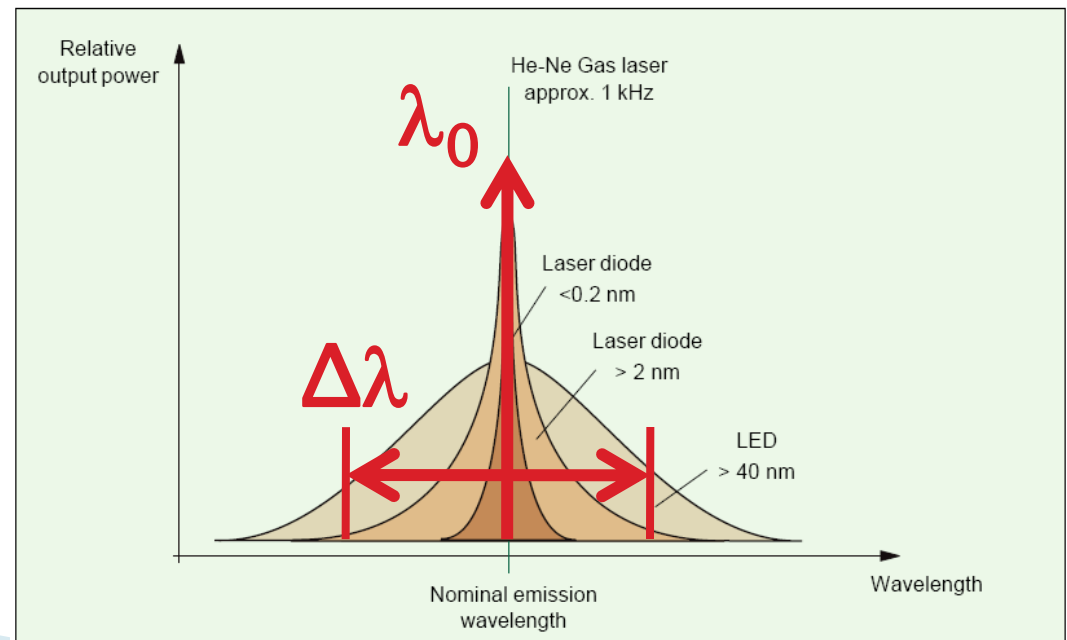


Calitatea spectrală a emițătorilor optici

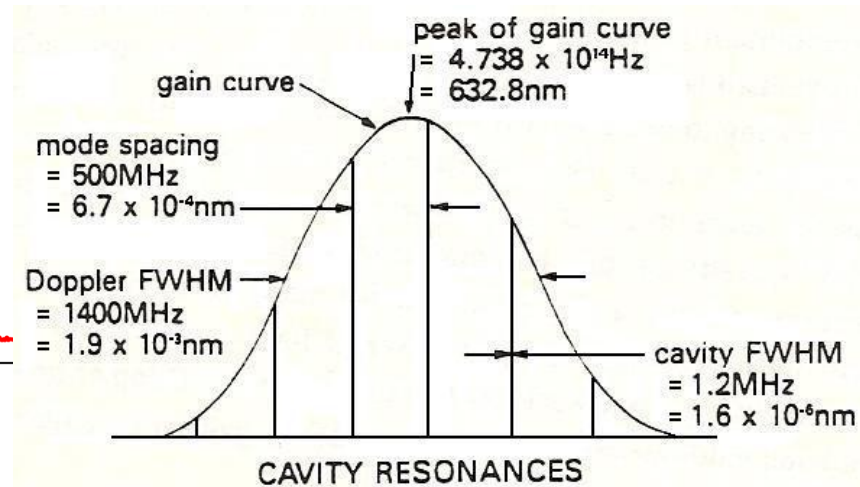
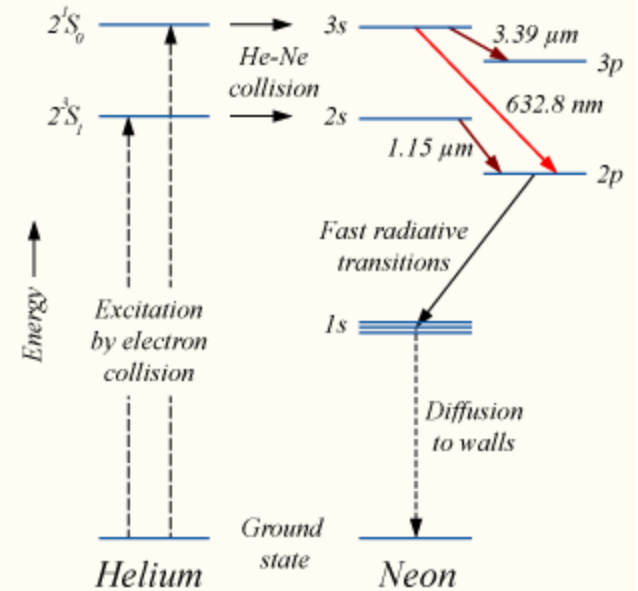
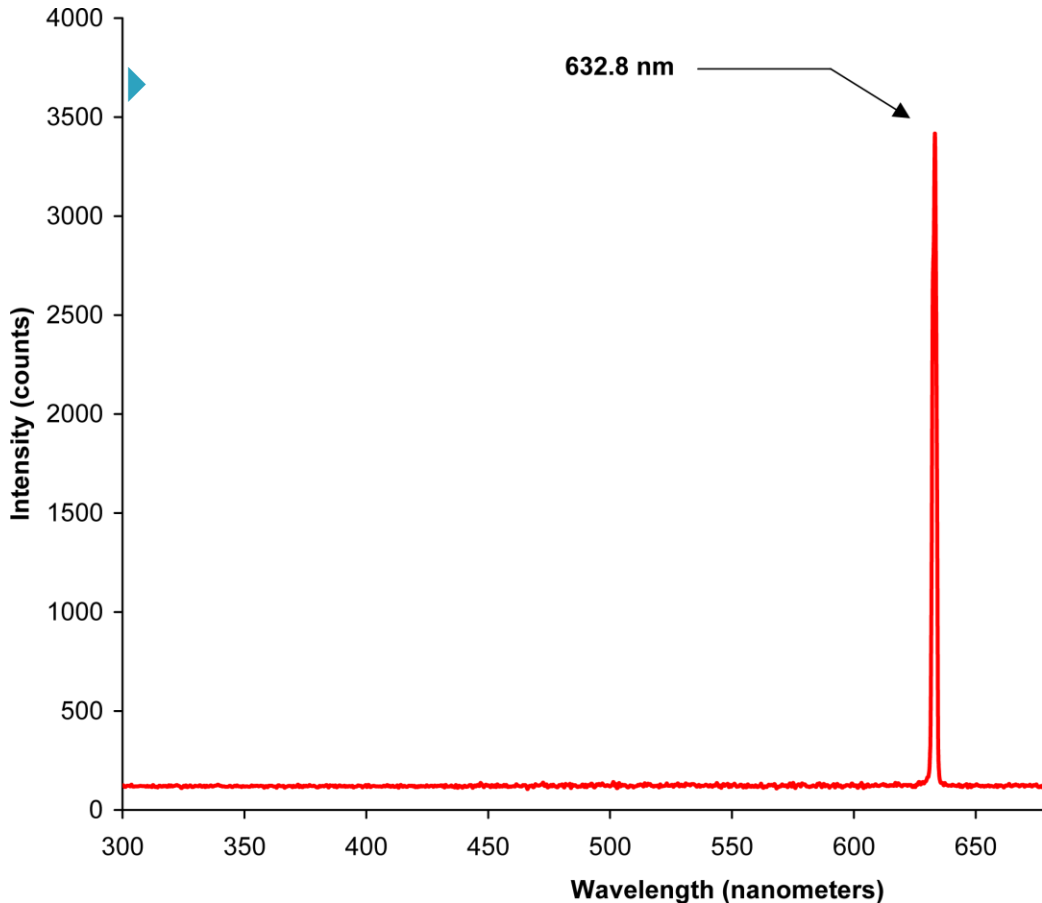
- ▶ degenerarea nivelelor energetice duce la aparitia benzilor energetice
- ▶ Multitudinea de tranzitii posibile intre cate doua nivele situate in benzi energetice diferite duce la largirea caracteristicii spectrale a surselor



$$\lambda_0 \rightarrow \left[\lambda_0 - \frac{\Delta\lambda}{2}, \lambda_0 + \frac{\Delta\lambda}{2} \right]$$



He-Ne Laser



$$\Delta\lambda = 0.002 \text{ nm}$$

Contact

- ▶ Laboratorul de microunde si optoelectronica
- ▶ <http://rf-opto.etti.tuiasi.ro>
- ▶ rdamian@etti.tuiasi.ro